

ОБЗОРЫ АКТУАЛЬНЫХ ПРОБЛЕМ

Экзотические мезоны: поиск глоболов

В.В. Анисович

В работе сделан анализ современной ситуации по поиску глоболов.

PACS numbers: 13.90.+i, 14.80.-j

Содержание

1. Введение (1225).
 2. Систематика $q\bar{q}$ -мезонов и кандидаты в экзотические состояния (1226).
 3. Резонанс в спектре $\eta\eta'$ при 1910 МэВ, предположительно $J^{PC} = 1^{-+}$ (1228).
 4. Резонанс $f_2(1710)$ и механизм радиационных распадов J/ψ (1229).
 5. Проблема извлечения информации из реакций рождения трех частиц: открытие $f_0(1505)$ (1230).
 6. Глоболов и КХД (1233).
6.1. Модель мешка. 6.2. Решеточные вычисления. 6.3. Модель потоковой трубки. 6.4. Глоболов как составные системы массивных эффективных глюонов. 6.5. Глоболов и скаляроны.
 7. Смешивание глобальных и кварк-антикварковых состояний (1237).
 8. Состояние $(I, J^{PC}) = (0, 0^{++})$: загадки структуры амплитуды в районе 1 ГэВ (1238).
 9. Мультиплет $1^3P_0 q\bar{q}$ (1242).
 10. Где находится 0^{+-} -глоболов? (1243).
 11. Процесс $J/\psi \rightarrow \gamma + GG$ как мера примеси глюонной компоненты в мезонах (1245).
 12. Заключение (1246).
- Список литературы (1246).

1. Введение

Квантовая хромодинамика (КХД) достаточно тщательно проверена в области жестких взаимодействий (или на малых расстояниях). Здесь константа связи КХД $\alpha_s(k^2)$ становится малой: теория асимптотически свободна при $k^2 \gg 1$ ГэВ². Это обстоятельство позволяет проводить вычисления в рамках пертурбативного подхода и сравнивать их результаты с экспериментом. Успех КХД в описании жестких процессов позволяет верить в то, что КХД является корректной теорией сильных взаимодействий.

Тем не менее следует иметь в виду, что в области мягких взаимодействий (на больших расстояниях), где $\alpha_s(k^2) \sim 1$, в настоящее время невозможно проводить количественные сравнения КХД с экспериментом. Поэтому особую важность приобретают качественные следствия, подтверждающие принципиальные положения теории. Одним из примеров такого следствия, хотя и из другой области приложения КХД, является цветовая прозрачность: сжатые адронные конфигурации, которые отбираются жесткими процессами, не взаимодействуют с нуклонами, проходя сквозь ядерное вещество. Это явление отражает фундаментальное свойство теории — ее калибровочную инвариантность. Другой пример — систематика низколежащих $q\bar{q}$ - и qqq -состояний. Систематика адронов с определенностью указывает на то, что низколежащие адроны составлены из кварков — фундаментальных объектов КХД.

Не менее важным является наблюдение частиц, в состав которых входит другой фундаментальный объект КХД — глюон. Это глоболов — частицы, состоящие только из глюонов, и гибриды — частицы, состоящие из кварков и глюонов. Адроны, не попадающие в $q\bar{q}$ - или qqq -классификацию, называют экзотическими; глоболов и гибриды — экзотические адроны.

Проблема — существуют глоболов или нет — вызывает противоречивые суждения. Серьезным аргументом в пользу их существования является то, что во всех феноменологических подходах, успешно описывающих низколежащие $q\bar{q}$ - и qqq -состояния, глоболов и гибриды появляются как результат естественного обобщения.

В области сильных взаимодействий количественные методы КХД не работают, и единственно возможный способ расчетов в настоящее время — развитие КХД-мотивированных моделей, базирующихся на эксперименте. Такой феноменологический подход очень эффективен, он позволяет успешно работать с весьма широким кругом задач. Можно думать, что это не есть временная мера, отражающая нашу сегодняшнюю неспособность решать задачи в мягкой области на основе фундаментального лагранжиана КХД. Кажется весьма правдоподобным, что феноменологические модели будут достаточно широко использоваться и впредь, даже если мы научимся "решать" КХД. Подобный пример демонстрируют нам исследования конденсированной материи: феноменологические модели и эффективные взаимодей-

В.В. Анисович. Петербургский институт ядерной физики, 188350 Гатчина, Санкт-Петербург, Россия
Факс (812) 713-19-63
E-mail: anisovic@lnpi.spb.su

Статья поступила 10 апреля 1995 г.

По Баггу

$${}^3P_0(0^{++}): a_0(1415), f_0(1335), f_0(1590), K_0(1430). \quad (3)$$

Багг предлагает рассматривать мезоны $f_0(980)$ и $a_0(980)$ как $K\bar{K}$ -молекулы, а $f_0(1505)$ как глюбол.

Возможность интерпретации $f_0(980)$ и $a_0(980)$ в качестве молекул обсуждалась в [13]. Следует подчеркнуть, что экспериментальные данные [3, 14, 15] дают сильный аргумент против этой гипотезы. В зарядовообменном рождении $\pi^- p \rightarrow \pi^0 \pi^0 n$ при 40 ГэВ/с [3, 14] резонанс $f_0(980)$ виден при малых t (квадрат переданного четырехимпульса нуклону), как дип, обусловленный деструктивной интерференцией с широким $\pi\pi$ -бампом ($f_0(1000)$). Однако при увеличении $|t|$ широкий бамп вымирает, тогда как сигнал от $f_0(980)$ остается: t -зависимость сечения рождения $f_0(980)$ — типичная для однопионного обмена. Доминантное рождение $f_0(980)$ при больших передачах трудно понять в рамках квазимолекулярной (или дейтроноподобной) структуры резонанса: вершина рождения $\pi \rightarrow f_0(980)$ содержит формфактор с t -зависимостью, определяемой размерами рождающейся составной системы — "молекулы". Этот формфактор подавляет рождение рыхлых составных систем при больших переданных импульсах. Подробное обсуждение структуры $f_0(980)$ дано в разделе 8.

Резонанс $a_0(980)$ виден в центральных pp -соударениях при 450 ГэВ как узкий пик на фоне малого сплошного спектра [15], что также является аргументом против гипотезы о его рыхлой, молекулоподобной, структуре. Обсуждение структуры $a_0(980)$ можно найти в разделе 9.

Резонанс $f_0(1505)$ был открыт при ре-анализе данных Crystal Barrel по pp -аннигиляции в покое $p\bar{p} \rightarrow \pi^0 \pi^0 \pi^0$ [16, 17], ранее нерегулярность в районе 1500 МэВ интерпретировалась как D -волновой резонанс $A\chi_2(1515)$ [18]. Совместный анализ данных по рождению $\pi^0 \pi^0 \pi^0$, $\pi^0 \pi^0 \eta$ и $\pi^0 \eta \eta$ показал также сильное рождение в этих реакциях других скалярных резонансов $a_0(1440)$, $a_0(980)$, $f_0(1370)$ и $f_0(980)$ [17, 19, 20]. В табл. 1 резонансы $a_0(1440)$ и $f_0(1370)$ рассматриваются в качестве первого радиального возбуждения мультиплетта ${}^3P_0(0^{++})$ совместно с резонансом $f_0(1590)$. Оговоримся сразу же, что статус $f_0(1590)$ требует специального обсуждения — мы вернемся ниже к этому резонансу в связи с проблемой смешивания кварковых и глюонных состояний.

Согласно табл. 1, $f_0(1240)$ является скалярным $s\bar{s}$ -компаньоном широкого резонанса $f_0(1000)$. Резонанс $f_0(1240)$ был виден в канале $K\bar{K}$ [21], однако бесспорно, что он нуждается в подтверждении. В компиляции [1] он скинут в общую "корзину" скалярных резонансов в районе 1300–1400 МэВ; мы вернемся к обсуждению этого резонанса ниже (раздел 9).

В табл. 1 также предполагается, что скалярный резонанс $K_0(1430)$ имеет в действительности двухполюсную структуру: в самом деле резонанс $K_0(1430)$ является весьма широким, $\Gamma \simeq 300$ МэВ, его ширина примерно вдвое больше ширины других странных P -волновых резонансов: $\Gamma[K_1(1270)] \simeq 90$ МэВ, $\Gamma[K_1(1400)] \simeq 170$ МэВ, $\Gamma[K_2(1430)] \simeq 100$ МэВ. Это позволяет предполагать, что в этом районе в действительности имеется два резонанса с массами около 1300 МэВ и 1500 МэВ, $K_0^{(1)}(1300)$ и $K_0^{(2)}(1500)$, и ширинами порядка 150 МэВ.

В табл. 1 включены два новых изоскалярных 2^{-+} -резонанса: $\eta_2(1650)$ и $\eta_2(1870)$, наблюдаемых Crystal

Barrel в реакции $p\bar{p} \rightarrow \eta \pi^0 \pi^0 \pi^0$ и распадающихся, соответственно, по каналам $a_2^0(1320)\pi^0$ и $f_2(1270)\eta$ [22]. Эти резонансы естественным образом заполняют D -волновой $q\bar{q}$ -мультиплет ${}^1D_2(2^{-+})$.

Сравнение данных табл. 1 с экспериментальными значениями сразу же позволяет видеть, что имеется группа изоскалярных резонансов с $J^{PC} = 0^{++}$ или 2^{++} , которая оказывается "лишней" с точки зрения $q\bar{q}$ -классификации. Прежде всего — это $f_0(980)$ и $f_0(1505)$. В районе 1600–2100 МэВ также наблюдаются скалярные резонансы: резонанс с массой 1740 МэВ ($J^{PC} = 0^{++}$ или 2^{++}) [23]; далее он обозначается как $f_J(1740)$ ($J = 0, 2$). В ре-анализе данных Mark-III $J/\psi \rightarrow \gamma + \pi^+ \pi^- \pi^+ \pi^-$ [24] видны два сильноорождающихся резонанса в системе четырех пионов, $f_2(1780)$ и $f_0(2100)$. Резонанс $f_2(1780)$ близок к $f_2(1810)$, который был виден в $4\pi^0$ -моду [25, 26], возможно, это один и тот же резонанс, или же сумма вкладов $f_2(1710) + f_2(1810)$.

В распаде $J/\psi \rightarrow \gamma + K\bar{K}$ наблюдается рождение резонанса $f_2(1710) \rightarrow K\bar{K}$ [27]: он также не попадает в систематику табл. 1.

Итак, резюмируем: группа изоскалярных резонансов, 0^{++} и 2^{++} ,

$$f_0(980), f_0(1505), f_0(2100), f_J(1740)(J = 0, 2), f_2(1710), f_2(1780), \quad (4)$$

не попадает в классификацию табл. 1. Необходимо проанализировать, не является ли какой-либо из этих резонансов действительно "лишним" с точки зрения $q\bar{q}$ -систематики.

К кандидатам в экзотику нужно добавить еще один загадочный резонанс, наблюдавшийся группой ГАМС [28]: в канале $\eta\eta'$ виден узкий пик с массой 1910 МэВ. Резонанс не распадается по каналам $\eta\eta$, $\pi^0 \pi^0$ и $K_S^0 K_S^0$ и это служит основанием предполагать, что орбитальный момент $\eta\eta'$ системы является нечетным, $L = 1, 3, \dots$. В этом случае мы имеем дело с резонансом с экзотическими квантовыми числами, невозможными в системе $q\bar{q}$. Минимальный вариант, $L = 1$, дает $J^{PC} = 1^{-+}$:

$$1^{-+}(1910). \quad (5)$$

Альтернативой, хотя и с совершенно непонятной динамикой, можно было бы считать, что L является четным; тогда при $L = 0$ или 2 следовало бы включить этот резонанс в группу (4): $f_J(1910)$ ($J = 0$ или 2).

Избыток изоскалярных резонансов 0^{++} и 2^{++} (см. (4)) является намеком на существование глюобольной экзотики: низшие двухглюобольные состояния должны иметь, согласно оценкам, которые мы обсудим ниже, именно эти квантовые числа. Однако прежде чем переходить к обсуждению глюоболов, давайте посмотрим, нельзя ли "спасти" $q\bar{q}$ -систематику, включив эти резонансы в следующие мультиплеты радиальных возбуждений 3P_0 и 3P_2 .

На рис. 1а, б показаны траектории мезонов, принадлежащих мультиплетам 1S_0 и 3S_1 [1, 29]: они хорошо укладываются на линейные по M^2 траектории. Можно таким же образом оценить массы мезонов f_0 и f_2 из мультиплетов 3P_0 и 3P_2 (рис. 1в, г). Получаем следующие значения масс:

$${}^3P_0: f_0(1720 \pm 40), f_0(1880 \pm 40), {}^3P_2: f_2(1950 \pm 50), f_2(2070 \pm 50). \quad (6)$$

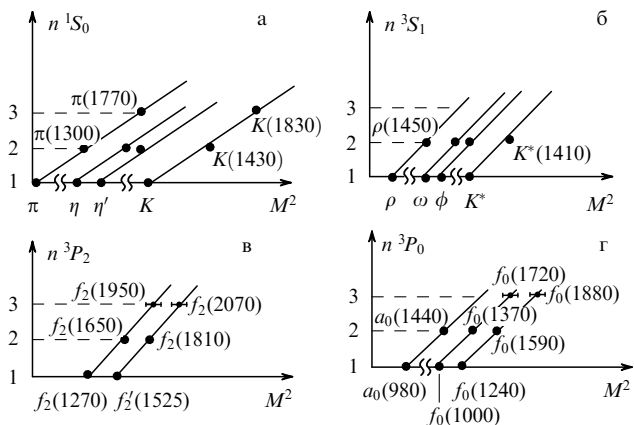


Рис. 1. Траектории мезонов — радиальных возбуждений S -волновых $q\bar{q}$ -мультиплетов, с хорошей точностью линейные по M^2 (а, б) и оценка масс мезонов, принадлежащих к ${}^3P_2q\bar{q}$ - и ${}^3P_0q\bar{q}$ -мультиплетам, с помощью линейных по M^2 траекторий (в, г) (значения масс состояний ${}^3P_2q\bar{q}$ - и ${}^3P_0q\bar{q}$ приведены в (б))

Аналогичным образом оцениваются массы мезонов 1^3F_2 мультиплета:

$$1^3F_2 : f_2(2000 \pm 80), f_2(2100 \pm 80). \quad (7)$$

Это означает, что мы не ожидаем дополнительных $q\bar{q}$ -состояний с $I=0, J^{PC}=0^{++}$ ниже 1650 МэВ, а с $J^{PC}=2^{++}$ — ниже 1900 МэВ: совершенно определенно $f_0(1505)$ и $f_2(1710)$ являются "лишними" с точки зрения $q\bar{q}$ -систематики. Резонанс $f_0(980)$, как уже говорилось выше, также является хорошим кандидатом на экзотическое состояние, но тем не менее, вопрос о его природе — дискуссионный (см. раздел 8). Дискуссии может вызывать и природа других резонансов из группы (4), (5), но два резонанса

$$f_0(1505), f_2(1710) \quad (8)$$

определенно выпадают из $q\bar{q}$ -классификации: мы с очевидностью встречаем здесь экзотику. И подозрения в первую очередь падают на глюболы. В следующих разделах обсудим, в каких реакциях следует ожидать повышенного рождения глюболов, а также, о чем говорят нам реакции с обогащенным рождением глюонных состояний.

3. Резонанс в спектре $\eta\eta'$ при 1910 МэВ, предположительно $J^{PC}=1^{-+}$

Этот резонанс обнаружен группой ГАМС в реакции $\pi^-p \rightarrow nX(1910) \rightarrow n\eta\eta'$ [28], спектр $\eta\eta'$ -масс показан на рис. 2а. Резонанс $X(1910)$ не виден в спектрах $\eta\eta, K_S^0K_S^0$ и $\pi^0\pi^0$ на следующем уровне (см. [28] и ссылки, данные там):

$$\frac{BR(\eta\eta)}{BR(\eta\eta')} < \frac{1}{20}, \quad \frac{BR(K_S^0K_S^0)}{BR(\eta\eta')} < \frac{1}{15}, \quad \frac{BR(\pi^0\pi^0)}{BR(\eta\eta')} < \frac{1}{15}. \quad (9)$$

Спин резонанса $X(1910)$ не определен, обсудим варианты $J=0, 1, 2$ и 3. Если спин резонанса четен, $J^{PC}=0^{++}$ или 2^{++} , то совершенно непонятным является факт подавления парциальных распадов по каналам $\eta\eta,$

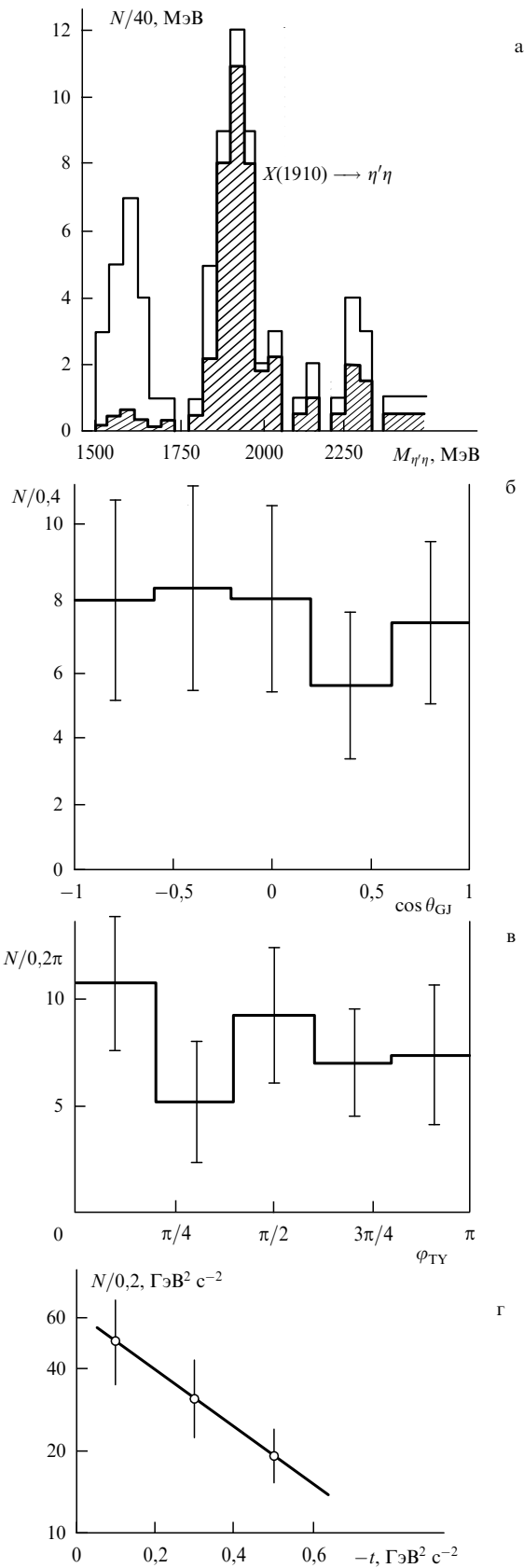


Рис. 2. Спектр $\eta\eta'$ -системы в реакции $\pi^-p \rightarrow n\eta\eta'$ при $0,35 < |t| < 0,6$ $\text{ГэВ}^2 \text{ с}^{-2}$. Заштрихованная гистограмма — спектр после выделения фона под η' -пиком (а). Распределения по полярному (б) и азимутальному (в) углам для распада $X(1910)$ -мезона в системе Готтфрида-Джексона при $0,35 < |t| < 0,6$ $\text{ГэВ}^2 \text{ с}^{-2}$. Дифференциальное t -распределение событий $\eta\eta'$ в районе пика $X(1910)$ (г)

$K_S^0 K_S^0$ и $\pi^0 \pi^0$. Система $\eta\eta$ аналогична системе $\eta\eta'$, поэтому представляется, что динамика распада резонанса 0^{++} или 2^{++} по каналам $\eta\eta$ и $\eta\eta'$ должна быть схожей.

В случае нечетного спина запрещены распады в каналы $\eta\eta$, $K_S^0 K_S^0$ и $\pi^0 \pi^0$ и возникает естественное объяснение, почему резонансный сигнал отсутствует в этих состояниях. Квантовые числа 1^{-+} и 3^{-+} являются экзотическими: такие квантовые числа невозможны в системе $q\bar{q}$. Резонно предположить, что, наблюдая в данном случае явную экзотику, мы встретились здесь с низшим экзотическим состоянием, т.е. что $J^{PC} = 1^{-+}$.

Экзотические квантовые числа 1^{-+} могут быть или у двухглюонного глюбола GG , если составляющие (или эффективные) глюоны являются массивными, или у гибрида $Gq\bar{q}$. Механизм рождения 1^{-+} -глюбола в реакции $\pi^- p \rightarrow n + GG(1^{-+})$ показан на рис. 3: мы имеем дело либо с t -канальным обменом пиноподобным состоянием типа $\pi(1300)$ или $\pi(1770)$ (распад $GG(1^{-+}) \rightarrow \pi\pi$ запрещен) (рис. 3а), либо с обменом a_1 -мезоном (рис. 3б). Диаграмма пиноподобного обмена, возможно, работает при малых передачах. При больших передачах доминирует диаграмма с a_1 -обменом.

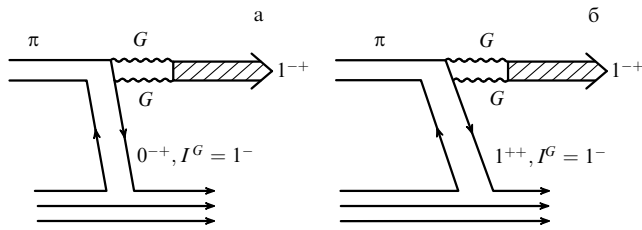


Рис. 3. Кварковые диаграммы, определяющие рождение $X(1910)$ -мезона в случае его глюобольной природы

Диаграмма (рис. 3б), отвечающая t -канальному обмену a_1 -мезоном, имеет вершину рождения резонанса $X(1^{-+})$ со следующей структурой:

$$(e_{a_1} \epsilon_X), \tag{10}$$

где e_{a_1} — вектор поляризации 1^{++} -мезона. Поэтому диаграмма (рис. 3б) не приводит к угловой зависимости продуктов распада в системе Готфрида–Джексона.

Вершина рождения резонанса $X(1^{-+})$ в случае обмена t -канальным состоянием с квантовыми числами пиона (рис. 3а) имеет структуру

$$(\mathbf{k} \vec{\epsilon}_X), \tag{11}$$

где \mathbf{k} — относительный импульс налетающего пиона и t -канального состояния в системе Готфрида–Джексона, а $\vec{\epsilon}$ — вектор поляризации резонанса. Поэтому в этой системе угловое распределение частиц — продуктов распада — ведет себя как $\cos^2 \theta_{GJ}$ в области, где доминирует диаграмма (рис. 3а).

Экспериментальные данные по угловой зависимости $\eta\eta'$ в системе Готфрида–Джексона (рис. 2б, в) согласуются с механизмом рождения $X(1^{-+})$, представленным на рис. 3б. Именно при больших $|t|$

$$W(\cos \theta_{GJ}) = \text{const}. \tag{12}$$

Это говорит о том, что при $|t| > 0,35$ (ГэВ/с)² работает диаграмма рис. 3б.

В области больших передач $|t|$ -зависимость сечения сравнительно слабая: $d\sigma/dt(\pi^- p \rightarrow X(1910)) \sim \exp[Bt]$ и $B \simeq 2$ (ГэВ/с)⁻² (см. рис. 2г).

Итак, можно заключить: существующие экспериментальные данные свидетельствуют в пользу того, что резонанс $\eta\eta'(1910)$ является экзотическим с $J^{PC} = 1^{-+}$. Ниже будет обсуждена гипотеза о глюобольной природе резонанса $1^{-+}(1910)$ (согласно этой гипотезе нужно, чтобы мягкие глюоны имели эффективную массу); мы также обсудим, базируясь на правилах $1/N$ -разложения [30, 31], почему глюоболы предпочитают распадаться на η и η' .

4. Резонанс $f_2(1710)$ и механизм радиационных распадов J/ψ

Этот резонанс хорошо виден в $K\bar{K}$ -спектрах радиационного распада $J/\psi \rightarrow \gamma + K\bar{K}$ [27]. Резонанс $f_2(1710)$ распадается также по каналу $\pi\pi$ [32] и, возможно, в канал $\sigma\sigma \rightarrow \pi^+\pi^-\pi^+\pi^-$ [24].

Резонансные распады J/ψ -мезона являются реакциями с обогащенным рождением глюонных состояний в адронной компоненте. Возможные типы процессов показаны на рис. 4: фотон может испускаться как чармованными кварками (рис. 4а, б), так и легкими (рис. 4в, г). Процессы на рис. 4а, б определяют рождение глюболов или мезонов с большой примесью глюобольной компоненты. В процессах на рис. 4в, г рождаются $q\bar{q}$ - или $q\bar{q}G$ -мезоны. Удачей глюобольной физики является то, что процессы, представленные на рис. 4в, г (так же, как и на рис. 4б), являются подавленными. В радиационных распадах J/ψ доминирует двухглюонный переход, а трехглюонный подавлен. Согласно [52] имеется следующая оценка парциальных ширин:

$$\frac{\Gamma(J/\psi \rightarrow \gamma gg)}{\Gamma(J/\psi \rightarrow ggg)} \simeq (19 \pm 6) \times 10^{-2}. \tag{13}$$

Это означает, что $\Gamma(J/\psi \rightarrow \gamma ggg)$ составляет не более 3–4 % $\Gamma(J/\psi \rightarrow \gamma gg)$. Таким образом, в радиационных распадах J/ψ наблюдаются проекции двухглюонного состояния на адронные состояния.

Открытие $f_2(1710)$ -резонанса происходило не гладко: в первоначальных анализах экспериментальных данных значение $J^{PC} = 2^{++}$ было намного предпочтительнее других квантовых чисел, однако впоследствии ошибочный анализ дал спин нуль [33]. Только недавний ренализ данных восстановил первоначальный результат: 1710 -резонанс является тензорным [34].

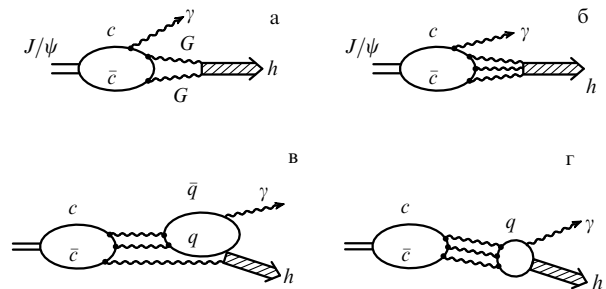


Рис. 4. Диаграмма, определяющая основной вклад в рождение глюболов в радиационных распадах J/ψ (а) и диаграммы, дающие малые поправки к основному вкладу (б, в, г)

5. Проблема извлечения информации из реакций рождения трех частиц: открытие $f_0(1505)$

Данные коллаборации Crystal Barrel по рождению трех мезонов в $p\bar{p}$ -аннигиляции в покое являются исключительно богатыми по числу набранных событий. Они беспорно открывают новую страницу в исследовании мезонов в районе масс 1000–1600 МэВ. Однако столь большая статистика событий и прецизионность их измерений требует одновременно адекватного учета интерференционных явлений и эффектов взаимодействия в конечном состоянии. В этом разделе изложены ключевые пункты методики анализа таких реакций на примере исследования процессов

$$p\bar{p} \rightarrow \begin{cases} \pi^0 & \pi^0 & \pi^0, \\ \pi^0 & \pi^0 & \eta, \\ \pi^0 & \eta & \eta. \end{cases} \quad (14)$$

Это исследование привело к открытию $f_0(1505)$.

Обсудим прежде всего структуру амплитуды рождения трех пионов. Этот переход может происходить со следующих водородоподобных $p\bar{p}$ -уровней:

$$\begin{aligned} {}^1S_0 &: J^P = 0^-, \\ {}^3P_1 &: 1^+, \\ {}^3P_2 &: 2^+. \end{aligned} \quad (15)$$

Подчеркнем, что аннигиляция с разных уровней может быть различна для различных процессов, например таких, как $p\bar{p} \rightarrow \pi\pi\pi$ и $p\bar{p} \rightarrow \pi\eta$: вероятности переходов сильно зависят от радиусов аннигиляции, тогда как сами радиусы различны для разных каналов аннигиляции. Поэтому проблема, с какого уровня идет процесс, должна решаться для каждой реакции отдельно. Ниже предполагается, что аннигиляция в три пиона идет с уровня 1S_0 . В этом случае амплитуда имеет следующую структуру:

$$\delta_{ab}\delta_{cz}A(1, 2; 3) + \delta_{bc}\delta_{az}A(2, 3; 1) + \delta_{ca}\delta_{bz}A(3, 1; 2). \quad (16)$$

Индексы 1, 2, 3 относятся к импульсам пионов, тогда как индексы a, b, c определяют их заряды; z есть изоспин начального состояния: $z = 0$ для $p\bar{p}$ и $z = 1$ для $\bar{p}n$. Амплитуда удовлетворяет условию симметрии $A(1, 2; 3) = A(2, 1; 3)$. Амплитуда перехода в различные каналы равна

$$\begin{aligned} p\bar{p} \rightarrow \begin{cases} \pi^0\pi^0\pi^0 & A(1, 2; 3) + A(2, 3; 1) + A(3, 1; 2), \\ \pi^+\pi^-\pi^0 & A(1, 2; 3), \end{cases} \\ \bar{p}n \rightarrow \begin{cases} \pi^-\pi^-\pi^+ & A(2, 3; 1) + A(3, 1; 2), \\ \pi^0\pi^0\pi^- & A(1, 2; 3). \end{cases} \end{aligned} \quad (17)$$

В очень грубом приближении амплитуда $A(1, 2; 3)$ может быть представлена как сумма амплитуды рождения резонансов и сравнительно гладкой фоновой функции.

В этом случае

$$A(1, 2; 3) = \alpha + \sum_R \frac{a_R X_R}{s_{12} - M_R^2 + i\Gamma_R M_R}, \quad (18)$$

α и a_R являются гладкими функциями квадратов парных энергий s_{ik} , а X_R есть центробежный фактор, равный 1 для

резонансов с $J = 0$ и равный

$$X_2 = (k_a k_b - \frac{1}{3} k^2 \delta_{ab})(k_{3a} k_{3b} - \frac{1}{3} k_3^2 \delta_{ab}) \quad (19)$$

для $J = 2$; здесь \mathbf{k} и \mathbf{k}_3 , соответственно, относительный импульс частиц 1 и 2 в системе покоя этих двух пионов и импульс третьего пиона в с.ц.м. трех мезонов; a и b — пространственные индексы.

С точки зрения фитирования экспериментальных данных очень важно, что α и a_R являются комплексными: их комплексность определяется взаимодействием частиц в конечном и начальном состояниях, которое не учитывается явно в рамках этого грубого приближения.

Представление амплитуды в форме (18) можно рассматривать как выделение лидирующих сингулярностей амплитуды, конкретно — полюсных. Однако если экспериментальные данные являются достаточно прецизионными, подобно данным коллаборации Crystal Barrel по реакциям (14), точность представления амплитуды в форме (18) является недостаточной: необходимо выделение сингулярностей, следующих за лидирующими. Такие сингулярности связаны с процессами перерасеяния образовавшихся мезонов. На рис. 5а, б слагаемые амплитуды (18) показаны в диаграммной форме: диаграмма на рис. 5а определяет гладкую фоновую амплитуду α , на рис. 5б — процесс рождения резонансов. Диаграммы с перерасеянием мезонов в конечном состоянии показаны на рис. 5в–е. Учет перерасеяний приводит также к включению пороговых сингулярностей в ширины резонансов:

$$\Gamma_R M_R \rightarrow \sum_n \gamma_n \frac{k_{12}^{2L+1}}{\sqrt{s_{12}}}. \quad (20)$$

Здесь k_{12}^{2L+1} — относительный импульс двух частиц, на которые может распасться резонанс (если это пионы, то $k_{12} = k$), а L — их орбитальный момент.

Учет пороговых сингулярностей особенно важен, когда порог находится вблизи резонанса. Канал $K\bar{K}$ дает как раз такой пример: резонансы $f_0(980)$, $f_0(1000)$ и $a_0(980)$ имеют большие парциальные ширины распада в состоянии $K\bar{K}$. Перерасеяния приводят также к пороговым сингулярностям в вершинах a_R (рис. 5г).

Другая проблема с представлением амплитуды рождения в форме (18) связана с тем, что резонансы $f_0(980)$ и

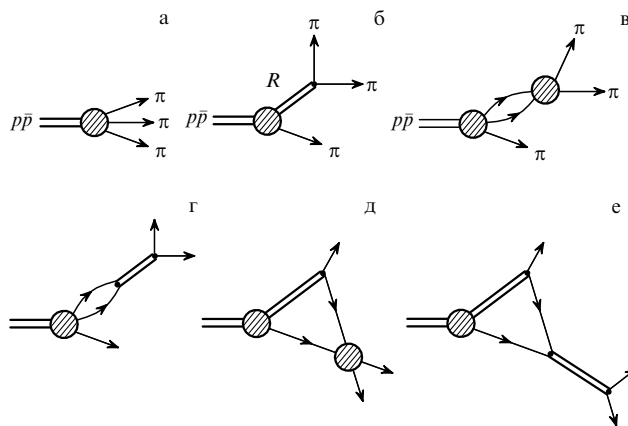


Рис. 5. Диаграммы, определяющие различные процессы рождения и перерасеяния пионов в реакции $p\bar{p} \rightarrow \pi\pi\pi$

$f_0(1000)$ являются перекрывающимися. Чтобы учесть это обстоятельство, а также тот факт, что оба эти резонанса сильно связаны с каналами $\pi\pi$ и $K\bar{K}$, необходимо рассмотреть S -волновую амплитуду в двухканальном приближении. Такое рассмотрение удобно проводить в рамках N/D -метода [35]. Амплитуда \hat{A} представляется как отношение \hat{N}/\hat{D} :

$$\hat{A} = \begin{pmatrix} A(\pi\pi \rightarrow \pi\pi) & A(\pi\pi \rightarrow K\bar{K}) \\ A(K\bar{K} \rightarrow \pi\pi) & A(K\bar{K} \rightarrow K\bar{K}) \end{pmatrix} = \frac{\hat{N}}{\hat{D}}. \quad (21)$$

Матрица \hat{N} описывает силы взаимодействия и содержит так называемые левые сингулярности, а \hat{D} описывает правые сингулярности амплитуд, определяющие перераспределение частиц (пороговые особенности при $s = 4m_\pi^2$ и $4m_K^2$). Амплитуда $\pi\pi$ -рассеяния может быть записана в форме

$$A(\pi\pi \rightarrow \pi\pi) = \frac{a(\pi\pi \rightarrow \pi\pi)}{\det|\hat{D}|}. \quad (22)$$

Нули $\det|\hat{D}|$ соответствуют резонансам амплитуд. Фактор $(\det|\hat{D}|)^{-1}$ является общим для всех амплитуд (21). И, что очень важно для дальнейшего, этот же фактор возникает в амплитуде рождения трех пионов: $A(1, 2; 3)$. Это связано с условием унитарности для амплитуды рождения в двухпионном канале. Таким образом, вклад двух брейт-вигнеровских полюсов в (18), $R(980) + R(1000)$, должен быть видоизменен в соответствии с (22):

$$R(980) + R(1000) \rightarrow \frac{a_R}{\det|\hat{D}|}, \quad (23)$$

$\det|\hat{D}|$ должен находиться из фита данных для $\pi\pi$ -амплитуды при $\sqrt{s_{12}} \leq 1,2$ ГэВ. Достаточно простая и вместе с тем реалистическая параметризация $\pi\pi$ -амплитуды следующая [17]:

$$\det|\hat{D}| = (s - s_1)(s - s_2) - i\rho_{\pi\pi}\gamma_1 - i\rho_{KK}\gamma_2 - \rho_{\pi\pi}\rho_{KK}\gamma_3. \quad (24)$$

Здесь $\gamma_i = \alpha_i + \beta_i s$, $\rho_{\pi\pi} = [(s - 4m_\pi^2)/s]^{1/2}$, $\rho_{KK} = [(s - 4m_K^2)/s]^{1/2}$, $s_1 = 0,305$, $s_2 = 1,335$, $\alpha_1 = 5,810$, $\alpha_2 = 2,882$, $\alpha_3 = -0,589$, $\beta_1 = -6,111$, $\beta_2 = -3,503$, $\beta_3 = 1,007$ (все значения даны в ГэВ). Фит амплитуды $\pi\pi \rightarrow \pi\pi$, приведший к (24), показан на рис. 6.

Наиболее примечательной чертой реакции $p\bar{p} \rightarrow \pi^0\pi^0\pi^0$ является сильная интерференция резонансов в районе 1300–1500 МэВ с низкоэнергетическими резонансами ($f_0(980)$, $f_0(1000)$) в кроссинговых каналах. Это означает сильную интерференцию амплитуд $A(i, j; k)$, входящих в уравнение (17). С учетом того, что сведения о низкоэнергетических резонансах можно почерпнуть из других реакций (например, из данных $\pi N \rightarrow \pi N$ при малых переданных импульсах нуклону), оказывается, что эта интерференция в действительности помогает определить характеристики резонансов с большими массами (рис. 7). Рассмотрим район далиц-плота с большими s_{12} (это правый крайний угол далиц-плота на рис. 7а). Рис. 7б показывает z -распределения ($z = \cos\theta_{13}$) при фиксированных s_{12} — срезы вдоль оси s_{23} (рис. 7а). Срез при $\sqrt{s_{23}} = 1536$ МэВ дает z -распределение, похожее на распределение с большой добавкой D -волны в $\pi\pi$ -

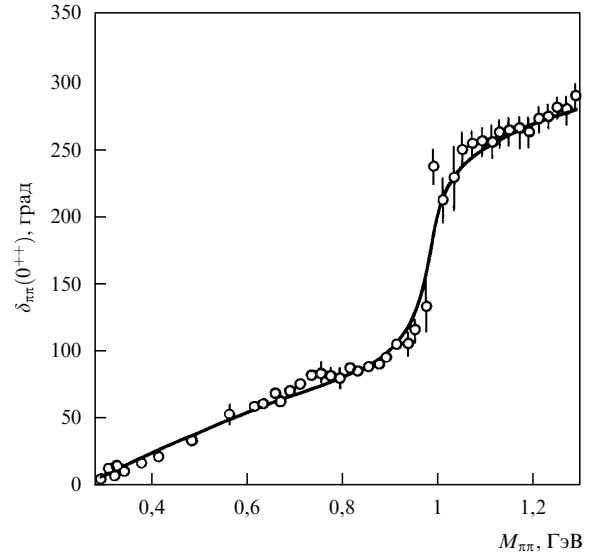


Рис. 6. S -волновые фазовые сдвиги амплитуды $\pi\pi$ -рассеяния с $I = 0$ (сплошная кривая — фит данных по формуле (24))

системе: D -волновое распределение пропорционально $(z^2 - 1/3)^2$. Но срезы при других $\sqrt{s_{12}}$ противоречат этой идее: бамп в районе $z = 0$ сужается при уменьшении s_{12} и увеличивается при увеличении s_{12} . Такое поведение естественно объясняется интерференцией с резонансами в каналах 13 и 23: подавление вероятности рождения в районе $z = \pm 1$ происходит из-за деструктивной интерференции с $f_0(980)$. Кривые на рис. 7б описывают z -распределения, полученные при фитировании данных: центральный пик обусловлен интерференцией $f_0(1505)$ с $f_0(980)$ и $f_0(1000)$.

В [19, 20] был проведен одновременный фит реакций (14) в рамках описанного выше подхода: амплитуды рождения мезонов были представлены в виде (18), но при этом одновременно учитывались также пороговые сингулярности и эффекты перекрытия резонансов (23). Фитировались также и данные по фазовому анализу S -волновой $\pi\pi$ -амплитуды с $I = 0$.

Результаты фита удобно представить на арган-плоте. Для этого амплитуда $A(1, 2; 3)$ раскладывается по парциальным волнам в канале 12:

$$A(1, 2; 3) = \sum_l (2l + 1) A_l(1, 2; 3) P_l(z). \quad (25)$$

На рис. 8 приведены $A_0(1, 2; 3)$ и $A_2(1, 2; 3)$ как функции $M = \sqrt{s_{12}}$. Окружности, описываемые амплитудой на арган-плоте, как и в случае амплитуды упругого рассеяния, соответствуют резонансам: амплитуда "движется" при увеличении M по кругу против часовой стрелки.

На арган-плоте (рис. 8а) видны резонансы $f_0(980)$ и $f_0(1505)$: слабовыраженный круг, соответствующий $f_0(980)$, и ясный, сильный сигнал от $f_0(1505)$. Параметры резонанса $f_0(1505)$ следующие:

$$M = 1505 \pm 20 \text{ МэВ}, \quad \Gamma = 150 \pm 20 \text{ МэВ}. \quad (26)$$

Совместный анализ реакций (14) указывает также на рождение еще одного скалярного резонанса с $I = 0$, $f_0(1360)$ и двух скалярных резонансов с $I = 1$: $a_0(980)$ и $a_0(1450)$. Параметры новых резонансов — $f_0(1360)$ и

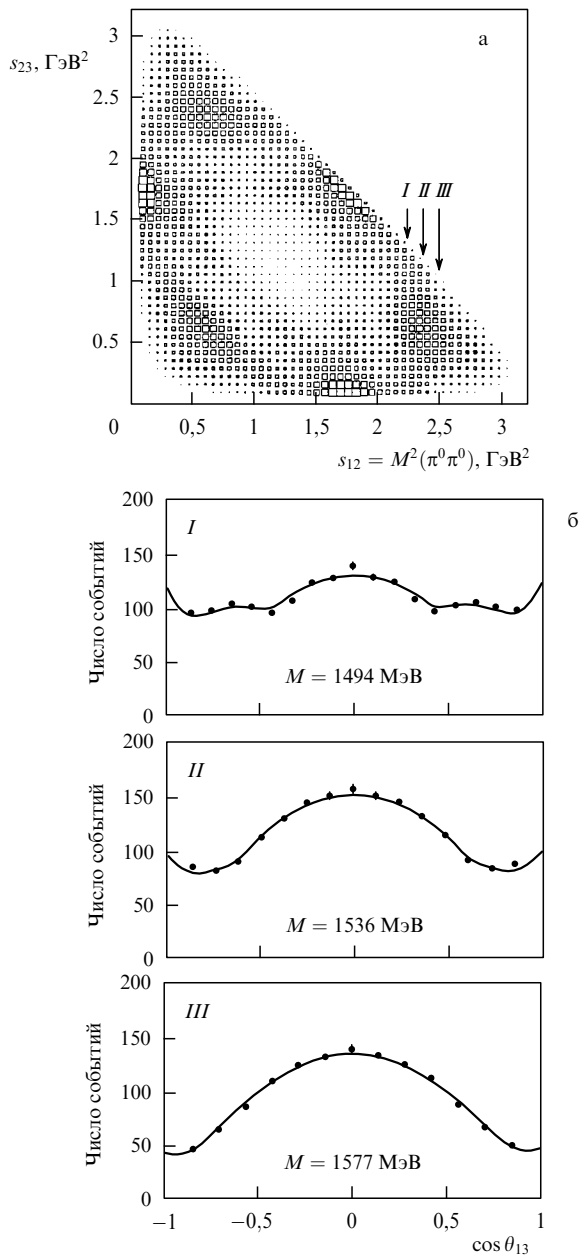


Рис. 7. Далиц-плот реакции $p\bar{p} \rightarrow \pi^0\pi^0\pi^0$ (а) (разрезы I, II и III показаны стрелками) и z -распределения при фиксированных s_{12} ($z = \cos \theta_{13}$, где θ_{13} — угол между импульсами пионов 1 и 3 в с.ц.м. частиц 1 и 2) (б)

$a_0(1460)$ — следующие:

$$f_0(1360): M = 1360 \text{ МэВ}, \quad \Gamma = 265 \text{ МэВ},$$

$$a_0(1450): M = 1450 \text{ МэВ}, \quad \Gamma = 270 \text{ МэВ}. \quad (27)$$

В табл. 1 эти резонансы интерпретируются как первые резонансные возбуждения $q\bar{q}$ мультиплетта $3P_0$.

Анализ реакций (14) проводился, как говорилось выше, с учетом полюсных особенностей амплитуды (рождение резонансов) и пороговых сингулярностей, обусловленных перерасеянием мезонов в конечном состоянии. Более далекими особенностями, которые влияют на амплитуду рождения мезонов, являются особенности треугольных диаграмм (рис. 5д, е), свя-

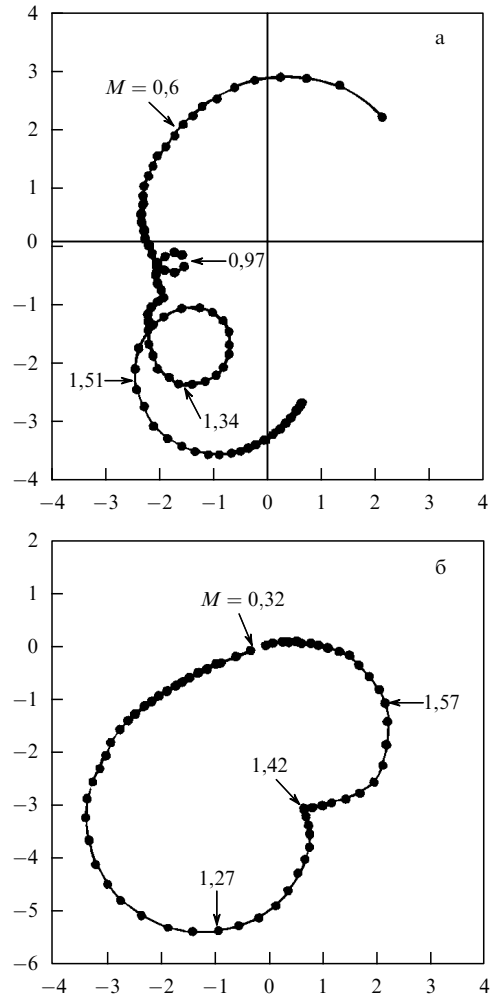


Рис. 8. Арган-диаграммы для πS -волновой амплитуды, полученной в фите данных реакции $p\bar{p} \rightarrow \pi^0\pi^0\pi^0$ (а) и для πD -волновой амплитуды (б)

занные с процессом рождения резонанса, его последующим двухчастичным распадом и перерасеянием продукта распада на третьей частице. Учет сингулярностей треугольных диаграмм проводился в [20] в реакции $p\bar{p} \rightarrow \pi^0\pi^0\pi^0$: учитывались S -волновые перерасеяния пионов в состоянии $I = 0$. В соответствии с этим амплитуда $A_0(1, 2; 3)$, определяемая уравнением (25), разбивалась на две: амплитуду, описывающую диаграммы типа $A_{B+R}(s_{12})$ (рис. 5а-г), и амплитуду треугольных диаграмм $A_T(s_{12})$. Именно,

$$A_0(1, 2; 3) = A_0(s_{12}) = A_{B+R}(s_{12}) + A_T(s_{12}). \quad (28)$$

Результат фита экспериментальных данных показан на рис. 9б, в: суммарная амплитуда $A_{B+R} + A_T$ (рис. 9б) мало отличается от амплитуды A_0 , полученной без учета треугольного графика (рис. 9а). Однако амплитуда A_{B+R} , описывающая прямое рождение мезонов и рождение резонансов (рис. 9в), отличается от решения, даваемого рис. 9а, весьма сильно: четко видно рождение резонанса $f_0(980)$, соответствующий круг стал ясно различим. Треугольные диаграммы слабо повлияли на определение параметров резонанса $f_0(1505)$. Это не удивительно: сингулярность треугольного графика

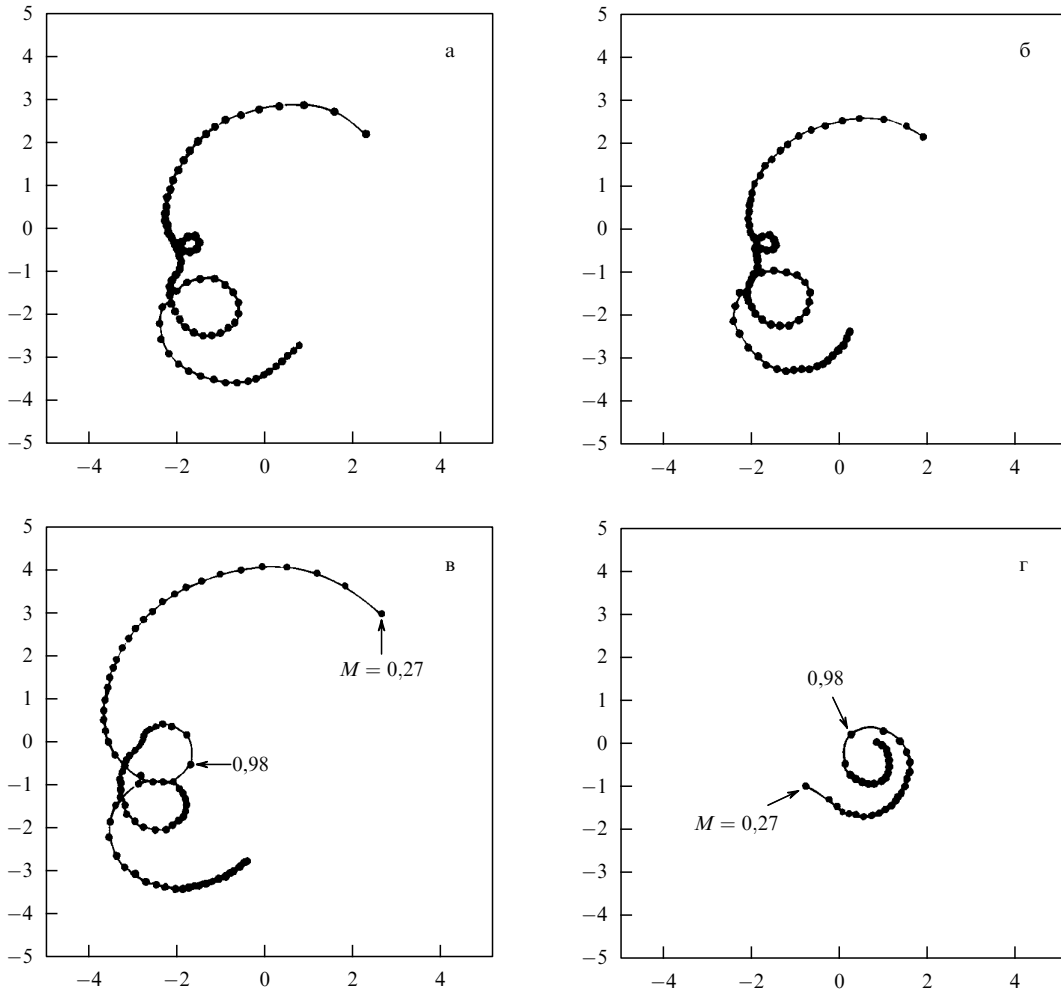


Рис. 9. Арган-диаграммы для πS -волновой амплитуды A_0 , определяемой без учета треугольной диаграммы (а), для амплитуды A_0 , задаваемой уравнением (28), т.е. с учетом треугольной диаграммы (б), для амплитуды A_{B+R} (см. уравнение (28)) (в) и для амплитуды треугольной диаграммы A_T (г)

находится при сравнительно низких энергиях $\pi\pi$ -системы.

Можно сделать следующее заключение, базирующееся на результатах анализа реакций (14):

1. Экспериментальные данные коллаборации Crystal Barrel определенно указывают на существование скалярного резонанса $f_0(1505)$, распадающегося по каналам $\pi\pi$ и $\eta\eta$.

2. Учет перерассеяний образовавшихся мезонов не меняет этого вывода. Особенности треугольной диаграммы существенны при определении характеристик низколежащих резонансов, таких как $f_0(980)$.

6. Глюболы и КХД

Как было сказано выше, основываясь на первых принципах КХД, невозможно в настоящее время вычислить массы связанных состояний. Кварк-глюонные взаимодействия в мягкой области (на расстояниях порядка 1 фм) описываются в рамках КХД-мотивированной феноменологии. В рамках такого подхода глюболы, составные системы глюонов, ожидалось весьма давно [36–40]. В настоящем разделе кратко обсуждаются предсказания КХД-мотивированной феноменологии для глюобольного сектора.

6.1. Модель мешка

Модель мешка MIT предсказывает спектр и массы низших глюобольных состояний [40, 41]. Модель рассматривает глюонное поле в статической полости (простейший вариант — сферический бэг). Тензор глюонного поля удовлетворяет условию конфайнмента: глюонный поток не уходит сквозь поверхность полости,

$$n_\mu G_{\mu\nu} = 0. \tag{29}$$

Здесь n_μ — нормаль к поверхности полости, в которой заключены глюоны. Граничное условие (29) позволяет найти собственные моды поля. Имеется два семейства решений:

поперечное электрическое поле TE с четностью $(-1)^{l+1}$,

поперечное магнитное поле TM с четностью $(-1)^l$.

Решений с $l = 0$ нет. Параметры бэга, найденные при описании $q\bar{q}$ - и qqq -состояний, позволяют рассчитать энергии собственных мод: низшее состояние есть TE-мода с $l = 1$, ее энергия равна $E(1^+) = 2,74/R$ (R — радиус полости). Далее идут состояния (TE, $l = 2$)-мода с $E(2^-) = 3,96/R$ и (TE, $l = 1$)-мода с $E(1^-) = 4,49/R$ [41].

Синглетное по цвету состояние может быть образовано как двумя, так и тремя глюонами. Соответственно,

низшие глоболы формируются двумя глюонами в $(TE, l = 1)$ -моде:

$$J^{PC} = 0^{++}, 2^{++}. \quad (30)$$

Следующие возбужденные двухглюонные состояния формируются модами $(TE, l = 1 + TE, l = 2)$ и $(TE, l = 1 + TM, l = 1)$. Их квантовые числа:

$$J^{PC} = 2^{-+}, 0^{-+}. \quad (31)$$

При этом ряд состояний, таких как $1^{-+}, 2^{-+}, 3^{-+}$ не реализуется из-за безмассовости глюона (соответствующий метод расчета глюонных состояний можно найти в [42, 43]). Оценки масс двух- и трехглюонных глоболов приведены в табл. 2.

Таблица 2. Низколежащие глоболы в модели мешка [40, 41]

Состояния	J^{PC}	Масса, ГэВ ($R^{-1} = 175$ МэВ)	Масса, ГэВ ($R^{-1} = 274$ МэВ)
Два глюона, основные состояния	$0^{++}, 2^{++}$	0,96	1,5
Два глюона, первые возбужденные состояния	$0^{-+}, 2^{-+}$	1,3	2,0
Три глюона, основные состояния	$0^{++}, 1^{+-}, 3^{+-}$	1,45	2,3
Три глюона, первые возбужденные состояния	$3^{-+}, 2 \times 2^{-+}, 1^{-+}, 0^{-+}, 3^{--}, 2^{-+}, 2 \times 1^{--}$	1,8	2,7

Значение $R = 175$ МэВ $^{-1}$ (или 1,14 фм), обсуждавшееся в [41], дает массы низших глоболов (0^{++} и 2^{++}) вблизи 1000 МэВ и предсказывает большое число глоболов в районе до 1500 МэВ. Сейчас, когда накоплен богатый экспериментальный материал о мезонах в этом интервале масс, более реалистической представляется ситуация, когда спектр глоболов сдвинут в район 1500–2000 МэВ. В табл. 2 приведены вычисленные значения масс глоболов для случая, когда основные глобальные состояния находятся вблизи 1500 МэВ ($R \approx 0,7$ фм). Характерно, что глобол с экзотическими квантовыми числами 1^{-+} (трехглюонное состояние) находится в этом случае весьма высоко (при 2700 МэВ). Это является прямым следствием безмассовости глюона в полости бэга.

6.2. Решеточные вычисления

Калибровочная теория на решетке была сформулирована Вильсоном [44]; вычислительная техника, базирующаяся на методе Монте-Карло, разработана в серии работ [45–47]. Последующие годы ознаменовались многочисленными усилиями в развитии и совершенствовании этого подхода.

При КХД-вычислениях на решетке используется формулировка теории в виде интеграла по путям:

$$Z = \int D\psi DU \exp(-S_Q - S_G). \quad (32)$$

Интегрирование проводится по всем фермионным полям $\psi, \bar{\psi}$ и по U , по $SU(3)$ -матрицам, представляющим собой глюонные поля, которые определены на каждом соединении решетки. Действие, которое используется почти во

всех вычислениях, характеризуется как [45]:

$$S_G = \frac{\beta}{6} \sum_{x, \mu, \nu} P_{\mu\nu}(x),$$

$$S_Q = \kappa \sum_{x, \mu} \bar{\psi}_x [(1 - \gamma_\mu) U_{x, \mu} \psi_{x+\mu} + (1 + \gamma_\mu) U_{x-\mu, \mu}^+ \psi_{x-\mu}] + \sum_x \bar{\psi}_x \psi_x. \quad (33)$$

"Плакетка" $P_{\mu\nu}(x)$ есть след произведения U -матриц вокруг элементарного квадрата, лежащего в плоскости $\mu - \nu$ и задаваемого точкой x .

В решеточных вычислениях глоболов, проведенных к настоящему моменту, используется только глюонная часть действия (33), кварковыми степенями свободы в глобальных состояниях пренебрегают. Параметром глюонной части решеточного действия является $\beta = 6/g_0^2$, параметр κ определяется массой голого кварка $\kappa = 1/(8 + 2m_0a)$.

В пределе бесконечно малой длины решетки, $a \rightarrow 0$, действие редуцируется в стандартное выражение КХД:

$$S_G = \frac{1}{4g_0^2} \int d^4x (F_{\mu\nu}^a)^2 + 0(a),$$

$$S_Q = \int d^4x \bar{\psi}(x)(\partial_\mu \gamma_\mu + m_0)\psi(x) + 0(a). \quad (34)$$

Здесь $0(a)$ описывает члены, исчезающие с занулением a . Решеточная длина a строится так, чтобы в пределе $\beta \rightarrow \infty$ и $a \rightarrow 0$ физические величины оставались фиксированными. Вычисления проводятся в евклидовом пространстве, когда время t мнимо.

Несмотря на прогресс, достигнутый в последние годы в создании алгоритма расчетов, вычисления масс глоболов являются трудными из-за малого отношения сигнала к шуму. Результаты расчета [48] приведены в табл. 3 в единицах натяжения струны, $\sqrt{\sigma}$, и при $\sigma = (440 \text{ МэВ})^2$ (такое значение σ хорошо описывает массы легких адронов и согласуется с моделью реджевских траекторий). Подчеркнем еще раз, что расчеты, результаты которых приведены в табл. 3, базируются на предположении, что массы глоболов мало чувствительны к примесям легких кварков. Дальнейший прогресс в вычислении спектра низколежащих глоболов должен быть связан с выяснением роли смешивания глобальных состояний с $q\bar{q}$ -компонентами и с последующим учетом этого смешивания.

Таблица 3. Результаты решеточного расчета спектра глоболов в глюодинамике [48]. Минимальная длина решетки $a = 0,055$ фм ($\beta = 6,4$). Символом ε обозначены состояния с экзотическими квантовыми числами

J^{PC}	$m/\sqrt{\sigma}$	$m, \text{ МэВ} (\sqrt{\sigma} = 440 \text{ МэВ})$
0^{++}	$3,52 \pm 0,12$	1549 ± 53
2^{++}	$5,25 \pm 0,25$	2310 ± 110
0^{-+}	$5,3 \pm 0,6$	2332 ± 264
1^{+-}	$6,6 \pm 0,6$	2904 ± 264
$0^{+-} \varepsilon$	< 9	< 3960
2^{-+}	$7,0 \pm 0,3$	3080 ± 132
$1^{-+} \varepsilon$	< 10	< 4400
3^{++}	$8,9 \pm 1,1$	3916 ± 485
$2^{+-} \varepsilon$	$10,0 \pm 2,0$	4400 ± 880
1^{++}	$9,0 \pm 0,7$	3960 ± 308
2^{--}	$9,2 \pm 0,8$	4050 ± 352

6.3. Модель потоковой трубки [49]

Модель потоковой трубки идеологически базируется на решеточных вычислениях: в этой модели структура взаимодействия мотивирована гамильтонианом решеточной КХД. В модель не заложено понятие "конституентного глюона". Предполагается, что в пределе сильной связи более адекватным понятием для описания глюоболов является поток глюонного поля: основное состояние и возбуждения потоковой трубки определяют спектр глюоболов.

Массы глюоболов, полученные в этой модели, представлены в табл. 4. Несмотря на то, что модель идеологически базируется на решеточных вычислениях, массы возбужденных глюобольных состояний значительно отличаются от аналогичных величин, полученных в [48] (см. табл. 3). Масса низшего глюоболов 0^{++} (1520) в табл. 4 зафиксирована определенным выбором параметров.

Таблица 4. Низколежащие чисто глюонные состояния в модели потоковой трубки [49]. Модель содержит параметры, которые не позволяют однозначно определить положение низшего глюоболов, однако массовые расщепления не слишком чувствительны к выбору этих параметров

J^{PC}	m , МэВ
0^{++}	1520
1^{+-}	2250
0^{++}	2750
$0^{++}, 0^{+-}, 0^{-+}, 0^{--}$	2790
2^{++}	2840
$2^{++}, 2^{+-}, 2^{-+}, 2^{--}$	2840
1^{+-}	3250
3^{+-}	3350

Подчеркнем одно важное свойство модели: она позволяет вычислить состояния радиальных возбуждений. Например, в табл. 4 представлена целая серия 0^{++} -глюоболов: 0^{++} (1520), 0^{++} (2750) и 0^{++} (2790). В рамках решеточного счета невозможно в настоящее время выделить радиальных возбуждений, и вряд ли такие расчеты окажутся осуществимыми в ближайшем будущем.

6.4. Глюоболы как составные системы массивных эффективных глюонов

Введение массивных эффективных глюонов тесно связано с проблемой аналитичности амплитуд в мягкой области. Рассмотрение глюонов как безмассовых частиц может приводить к нарушению аналитических свойств. Характерным примером являются процессы рассеяния адронов при высоких энергиях: они описываются t -канальными глюонными обменов (рис. 10). На языке адронных состояний это соответствует обмену реджезо-

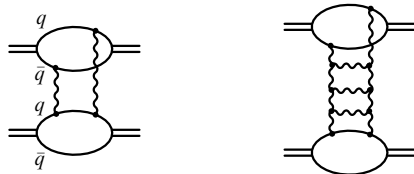


Рис. 10. Диаграммы мезон-мезонного рассеяния при высоких энергиях с t -канальным обменом глюонами (волнистые линии) (набор лестничных глюонных диаграмм определяет померон Липатова [50])

ванными глюоболов. Диаграммы (см. рис. 10) с безмассовыми глюонами имеют сингулярности при $t = 0$, которые нарушают аналитические свойства амплитуды рассеяния: в самом деле, t -канальные сингулярности расположены при $t \geq 4\mu_\pi^2$ (μ_π — масса пиона). Возможный механизм восстановления аналитических свойств амплитуды обусловлен возникновением эффективной массы у мягких глюонов.

Необходимость введения эффективной массы глюонов диктуется также экспериментальными данными по распаду тяжелых кваркониев (состояний $c\bar{c}$ и $b\bar{b}$). Согласованное описание радиационных распадов J/ψ и Υ ; совместимое с непротиворечивым определением $\alpha_s(k^2)$, требует [51, 52] введения эффективной массы глюона порядка:

$$M_G \simeq 700 \div 1100 \text{ МэВ.} \tag{35}$$

Имеются основания полагать, что ликвидация неправильных сингулярностей в амплитудах и восстановление корректных аналитических свойств происходит вследствие инфракрасных расходимостей КХД: в мягкой области константа связи $\alpha_s(k^2)$ не мала и происходит перегруппировка диаграмм. Такой механизм образования массивных глюонов рассматривался в серии работ Корнуолла и сотрудников [53–55], где с помощью специального набора калибровочно-инвариантных уравнений Дайсона–Швингера были построены пропагатор глюона и трехглюонная вершинная функция. Численные оценки дали следующее значение эффективной массы глюона [53]:

$$M_G = 500 \pm 200 \text{ МэВ.} \tag{36}$$

При этом масса низшего глюоболов 0^{++} примерно равна удвоенной массе глюона [53]:

$$m(0^{++}) \simeq 1000 \pm 400 \text{ МэВ.} \tag{37}$$

К массе эффективного глюона того же порядка, что и в формулах (35), (36), приводит самосогласованное описание спектров низколежащих мезонов в модели кварков [56]. Для низколежащих адронов дальнедействующая компонента сил конфайнмента несущественна. Соответственно, при рассмотрении низколежащих мезонных состояний можно работать с цветными объектами как с нормальными частицами; использовать в расчетах идею бутстрапа, когда низколежащие мезонные состояния формируются силами, которые представляют собой аналогичные мезонные состояния в кросс-инговых каналах.

В рамках такой идеологии было получено самосогласованное описание амплитуд низкоэнергетических процессов $q\bar{q} \rightarrow q\bar{q}$ и $qq \rightarrow qq$ во всех трех каналах и вычислены массы мезонов в нонетах $0^-, 1^-$ и 0^+ , разумно согласующиеся с экспериментальными значениями. Масса эффективного глюона оказывается при этом равной [56]:

$$M_G \simeq 700 \text{ МэВ.} \tag{38}$$

При проведении бутстрапной процедуры свободные параметры модели были зафиксированы по значениям масс четырех низколежащих мезонов (π, η', K и ρ). Масса

эффективного глюона в этой процедуре достаточно жестко определяется: она близка к массе ρ -мезона. Это не является случайным: мы знаем, что характерные адронные размеры порядка обратной массы ρ -мезона, $\langle r \rangle_{\text{hadron}} \sim 1/m_\rho$, а в то же время именно обмен эффективными глюонами дает главный вклад в формирование потенциальной ямы, ответственной за образование кварковых связанных состояний, поэтому $M_G \sim 1/\langle r \rangle_{\text{hadron}}$. Фиксирование масс низколежащих адронов определяет параметры потенциальной ямы, в том числе и $\langle r \rangle_{\text{hadron}}$, а значит, и M_G .

Итак, физика мягких взаимодействий требует введения эффективного глюона с массой порядка 700–1000 МэВ. Удвоенная масса эффективного глюона попадает в район, где находятся мезоны, являющиеся наиболее вероятными кандидатами в глоболы.

6.5. Глоболы и скаляроны [57]

Безмассовые глюоны, как говорилось выше, приводят к неправильным сингулярностям в амплитудах мягких процессов. Можно думать, что восстановление корректных свойств амплитуд осуществляется благодаря инфракрасным расходимостям КХД: в этой области происходит перегруппировка фейнмановских диаграмм, приводящая к возникновению массивного эффективного глюона.

В [57] восстановление корректных аналитических свойств амплитуд в мягкой области моделировалось с помощью механизма Хиггса, причем таким образом, чтобы сохранить цветовую $SU(3)$ -симметрию в мягкой области (на расстояниях порядка 0,2–1,0 фм): опыт кварковой модели подсказывает, что эта симметрия сохраняется, как минимум, на уровне глобальной. (Механизм реализации глобальной $SU(3)$ -симметрии после спонтанного нарушения локальной $SU(3)$ изучался в серии работ [58–61]).

Сохранение симметрии на больших расстояниях не проходит бесследно для адронного сектора: наряду с глоболами возникают дополнительные скалярные частицы с $I = 0$, $J^{PC} = 0^{++}$, которые мы будем называть скаляронами. Механизм возникновения скаляронов можно видеть на примере простейшего КХД-мотивированного лагранжиана, включающего в себя цветные хиггсовские частицы:

$$L = L_{\text{QCD}} + L_{\text{H}}. \quad (39)$$

Здесь L_{QCD} — стандартный лагранжиан КХД, а L_{H} является лагранжианом для цветных хиггсовских полей ϕ :

$$L_{\text{H}} = -\frac{1}{2} \text{Tr} (D^\mu \phi)^\dagger D_\mu \phi + V(\phi), \quad (40)$$

$$V(\phi) = -a \text{Tr} \phi^\dagger \phi + \frac{1}{3} b (\text{Tr} \phi^\dagger \phi)^2 + \\ + B \left[\text{Tr} \phi^\dagger \phi \phi^\dagger \phi - \frac{1}{3} (\text{Tr} \phi^\dagger \phi)^2 \right] - \\ - \sqrt{\frac{2}{3}} c (\det \phi^\dagger + \det \phi).$$

Обобщенная производная $D_\mu = \partial_\mu - (i/2)g\lambda_a A_\mu^a$ определяется глюонным полем A_μ^a , а комплексное скалярное

хиггсовское поле ϕ_{kl} есть триплет по цветовой локальной группе $SU(3)_c$ (индекс l) и триплет по некоторой глобальной группе $SU(3)$ (индекс k). Спонтанное нарушение локальной цветовой группы сопровождается при $a > 0$, $b > 0$ и $c > 0$ сохранением глобальной цветовой $SU(3)$ -группы. Новый базис включает в себя восемь массивных глюонов (цветной $SU(3)$ -октет, $J^P = 1^-$) с массой:

$$m_G^2 = \frac{1}{6} g^2 v^2. \quad (41)$$

Здесь $\langle \phi_{kl} \rangle = \delta_{kl} v / \sqrt{6}$, причем вакуумное среднее v определяется равенством $bv^2 = 3a + cv$, два массивных скалярона ($SU(3)$ -синглеты, $J^P = 0^+$) с массами:

$$M_1^2 = cv, \quad M_2^2 = \frac{2}{3} bv^2 - \frac{1}{3} cv. \quad (42)$$

восемь массивных цветных хиггсовских мезонов ($SU(3)$ -октет, $J^P = 0^+$) с массой:

$$m_H^2 = \frac{2}{3} (Bv^2 + cv). \quad (43)$$

Массу хиггсовского мезона m_H можно сделать сколь угодно большой, положив $B \rightarrow \infty$ и фактически убрав из рассмотрения эту вспомогательную частицу. После этого эффективная теория, призванная описывать низкоэнергетическое взаимодействие адронов в мягкой области, оперирует с составляющими кварками и массивными глюонами. Векторное калибровочное поле A_μ^a в этой теории сохраняет такую же структуру самодействия, как и в КХД, а цвет сохраняется как точная глобальная симметрия. Вершина кварк-глюон-антикварк имеет структуру, определяемую лагранжианом L_{QCD} , поэтому составляющие кварки являются триплетами глобальной цветовой $SU(3)$ -группы. Эффективная теория является перенормируемой, а вакуумное среднее v — скаляром новой (глобальной) цветовой симметрии, но не первоначальной локальной $SU(3)_c$. "Расплатой" за сохранение цветовой симметрии в качестве глобальной служит существование двух скалярных хиггсовских мезонов (скаляронов) с массами, определяемыми соотношениями (42).

Введение эффективного лагранжиана (40) представляет собой реализацию предположения, что имеется три области приложения базисного лагранжиана КХД.

1) Область малых расстояний $r < 0,1$ фм, где применимы пертурбативные вычисления.

2) Область промежуточных расстояний $0,1 \text{ фм} < r < 1 \text{ фм}$, где константа связи α_s уже не мала, но эффекты цветовой нейтрализации еще не существенны.

3) Область больших расстояний, где существенны эффекты конфайнмента.

Предполагается, что эффективный лагранжиан применим именно к области 2), где может быть оправдано использование составляющих кварков и эффективных глюонов. Его нельзя использовать в области 1), так как составляющие кварки, эффективные глюоны и цветные хиггсовские мезоны имеют сложную структуру с точки зрения базисных кварков и глюонов КХД. Лагранжиан (40) не применим также и на больших расстояниях, поскольку не содержит инфракрасных расходимостей, присущих основополагающему лагранжиану КХД: именно эти инфракрасные расходимости, как предпола-

Таблица 5. Модель массивных глюонов [57]: двухглюонные S -, P - и D -волновые глюболы и скаляроны

Состояния	Возможная интерпретация состояний (4), (5) как глюолов GG и скаляронов	Глобальные состояния, предсказываемые формулой (46)
$GG, L = 0$	$0^{++}(1505), 2^{++}(1710)$	
$GG, L = 1$	$0^{-+}(?), 1^{-+}(1910), 2^{-+}(?)$	$0^{-+}(1730), 2^{-+}(2260)$
$GG, L = 2$	$0^{++}(2100), 1^{++}(?), 2^{++}(?), 2^{++}(?), 3^{++}(?), 4^{++}(?)$	$1^{++}(2280), \dots$
Скаляроны	$0^{++}(980), 0^{++}(1740)$	

гаются, реализуют конфайнмент цветных объектов. Поэтому лагранжиан (40) по построению применим к явлениям, которые определяются областью промежуточных расстояний. Предполагается, что низколежащие глюболы формируются взаимодействиями в области 2) точно так же, как и низколежащие $q\bar{q}$ -мезоны и qqq -барионы. На возможность использовать лагранжиан (39), (40) в кварковой модели при описании мягких взаимодействий указывалось в [62, 63].

Легко оценить параметры модели, при которых группа резонансов (4), оказавшаяся "лишней" с точки зрения $q\bar{q}$ -систематики, может быть классифицирована в качестве скаляронов и низших глюолов. Например, при

$$\begin{aligned} a &= 1,33 \text{ ГэВ}^2, & c &= 0,33 \text{ ГэВ}, \\ b &= 0,56, & g^2 &= 0,38, & B &> 3 \end{aligned} \quad (44)$$

(все размерные величины даны в ГэВ) мы имеем

$$\begin{aligned} m_G &= 750 \text{ МэВ}, & m_H &> 4500 \text{ МэВ}, \\ M_1 &= 1000 \text{ МэВ}, & M_2 &= 1750 \text{ МэВ}. \end{aligned} \quad (45)$$

Удвоенная масса глюона равна 1500 МэВ, и скалярный резонанс $f_0(1505)$ интерпретируется как низший глюбол 0^{++} , резонансы $f_0(980)$ и $f_0(1740)$ являются скаляронами, а цветные хиггсовские бозоны — это вспомогательные частицы, необходимые для регуляризации диаграмм на малых расстояниях. Возможная интерпретация резонансов, приведенных в (4) и (5), в качестве глюолов и скаляронов представлена в табл. 5. Там же указаны предсказания масс P -волновых GG -глюолов 0^{-+} и 2^{-+} и D -волнового 1^{++} -глюбола, при этом массы оценены по феноменологической формуле:

$$M = m + aJ(J+1) + bS(S+1) + cL(L+1), \quad (46)$$

S и L — полный спин и момент GG -состояния, a, m, a, b и c — свободные параметры. Такая формула, являющаяся разложением массового члена по операторам \hat{J}^2, \hat{S}^2 и \hat{L}^2 , справедлива для сравнительно небольших значений массовых расщеплений. Отметим также, что в этом случае практически все равно, писать ли формулу для массовых расщеплений в виде (46) или же для квадрата массы M^2 . Предсказываемая масса 0^{-+} -глюбола равна 1730 МэВ, она весьма близка к массе S -волнового 2^{++} -глюбола. Массы 2^{-+} - и 1^{++} -глюолов оказываются при этом в районе 2250–2300 МэВ, массы остальных D -волновых глюолов — в районе 2500 МэВ и выше.

Итак, модель, в которой глюболы состоят из массивных глюонов с массой $M_G \sim 700 \div 1000$ МэВ, дает систематику, качественно описывающую группу резонансов (4), (5). Сохранение цвета в качестве глобальной $SU(3)$ -симметрии в мягкой области требует в дополнение к глобальному сектору существования еще двух 0^{++} -резонансов (скаляронов) — это позволяет объяснить "излишек" скалярных мезонов в группе (4).

К сожалению, количественное описание глюолов в рамках моделей, которые оперируют чисто глюонными степенями свободы, т.е. без учета кварковых состояний, вряд ли возможно. Проблема смешивания $q\bar{q}$ - и глюонных состояний обсуждается в следующем разделе.

7. Смешивание глобальных и кварк-антикварковых состояний

Проблема смешивания глюонных и кварк-антикварковых компонент является очень важной для физики глюолов. Поиск глюолов намного упростился бы, если бы глюболы представляли собой чисто глюонные образования. Во-первых, можно бы с большим доверием относиться к модельным расчетам масс глюолов. Следует напомнить еще раз, что в расчетах, проведенных к настоящему времени, не учитывалось влияние $q\bar{q}$ -компоненты. Во-вторых, в распадах чистых (беспримесных) глюонных состояний выполнялись бы правила кварковой демократии: равенство амплитуд переходов $GG \rightarrow q\bar{q}$ для легких кварков всех флейверов. В этом случае приведенные ширины распадов (парциальная ширина, деленная на фазовый объем ϕ) должны быть одинаковы для таких переходов как $\pi\pi, \eta\eta, K\bar{K}$:

$$\frac{\Gamma(\pi\pi)}{\phi(\pi\pi)} = \frac{\Gamma(\eta\eta)}{\phi(\eta\eta)} = \frac{\Gamma(K\bar{K})}{\phi(K\bar{K})}. \quad (47)$$

Однако есть веские основания считать, что смешивание GG - и $q\bar{q}$ -состояний не мало. Это означает, что глюболы нельзя рассматривать как чисто глюонные образования и точно так же нельзя все мезоны табл. 1 рассматривать как чистые $q\bar{q}$ -состояния. Аргументы в пользу смешивания $q\bar{q}$ - и GG -состояний даются правилами $1/N$ -разложения [29, 30] ($N = N_c = N_f = 3$, где N_c — число цветов, N_f — число легких флейверов). Опыт работы с кварковыми диаграммами показывает, что это разложение работает достаточно хорошо.

Для иллюстрации рассмотрим простую модель образования $q\bar{q}$ -мезонов и GG -глюолов. Будем считать, что связанные состояния $q\bar{q}$ и GG образуются в результате глюонных обменов (рис. 11а, в, соответственно): согласно правилам $1/N$ -разложения такого типа диаграммы дают большой вклад в формирование адронов. Сумма всевозможных лестничных диаграмм (рис. 11а) приводит к $q\bar{q}$ -мезону (рис. 11б), а лестничные диаграммы (рис. 11в) дают глюбол (рис. 11г). Включение $q\bar{q}$ -петли в глюонную лестницу (рис. 11д) дает вклад того же порядка после суммирования по всем флейверам $q\bar{q} \rightarrow \sum_f q_f \bar{q}_f$. Тот же порядок величины сохраняется и в диаграмме (рис. 11е): это означает, что согласно правилам $1/N$ -разложения переход (рис. 11ж)

$$\text{глюбол} \rightarrow \sum_f q_f \bar{q}_f - \text{мезоны} \rightarrow \text{глюбол} \quad (48)$$

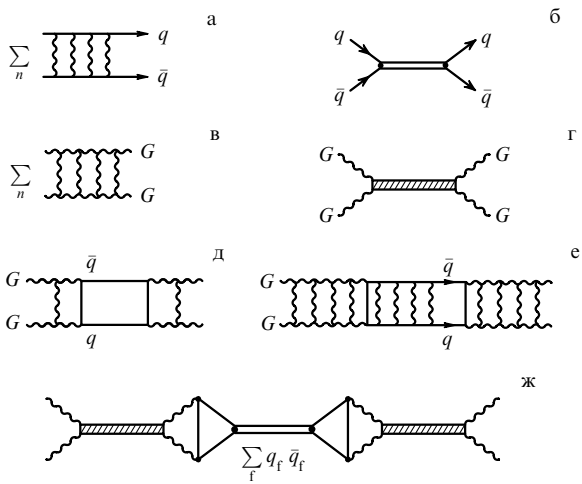


Рис. 11. Лестничные диаграммы (а, в), определяющие $q\bar{q}$ -связанное состояние (б) и глюбол (г) и диаграммы, приводящие к смешиванию GG - и $q\bar{q}$ -состояний (д, е, ж)

не подавлен. Подчеркнем, что вершина перехода глюбола в одно конкретное кварк-антикварковое состояние порядка $1/\sqrt{N}$: переход "глюбол $\rightarrow q_f\bar{q}_f \rightarrow$ глюбол" порядка $1/N$. Только суммирование по всем флейверам ликвидирует эту малость: $\sum_f N_f$. Поэтому примесь одного конкретного $q_f\bar{q}_f$ -состояния в глюболе невелика ($\sim 1/N$) так же, как мала и примесь глюбола в одном конкретном $q_f\bar{q}_f$ -состоянии. Однако сумма примесей $\sum_f q_f\bar{q}_f$ -состояний в глюболе уже не мала.

Следует сделать два замечания относительно возможных отклонений от правил $1/N$ -разложения. Прежде всего в этих правилах предполагается, что рождение $q\bar{q}$ -пар не зависит от флейверов кварков, как это имеет место в пертурбативной КХД. Однако в области мягких взаимодействий переход $GG \rightarrow s\bar{s}$ подавлен по сравнению с переходами в нестранные кварки $GG \rightarrow u\bar{u}$ или $GG \rightarrow d\bar{d}$. На это указывают экспериментальные данные по рождению адронов при высоких и сверхвысоких энергиях: в глюонной сетке, формирующей померон, вероятность рождения пары $s\bar{s}$ подавлена по сравнению с $u\bar{u}$, причем параметр подавления λ порядка 0,4–0,5 (см., например, [64] и ссылки, данные там). Померон эквивалентен набору t -канальных обменов реджезованными глюболами, поэтому вероятность глюбола перейти в $s\bar{s}$ подавлена таким же фактором, если ее сравнивать с аналогичными переходами в нестранные кварки:

$$\frac{W(\text{glueball} \rightarrow s\bar{s})}{W(\text{glueball} \rightarrow n\bar{n})} \simeq \frac{1}{2} \quad (49)$$

Здесь n обозначает u - или d -кварк. С учетом этого обстоятельства соотношения (47) для парциальных ширин распада глюбола в псевдоскалярные мезоны переписываются следующим образом:

$$\frac{\Gamma(\pi\pi)}{\phi(\pi\pi)} \simeq 5 \frac{\Gamma(\eta\eta)}{\phi(\eta\eta)} \simeq 2 \frac{\Gamma(\bar{K}K)}{\phi(\bar{K}K)} \quad (50)$$

Кварковая демократия нарушена и превалирует пионный канал распада.

Второе замечание касается числа мезонных состояний, с которыми смешивается глюбол: их число не

обязано быть равным $N = 3$. Например, глюбол 0^{++} может смешиваться только с двумя членами $q\bar{q}$ -мультиплета $1^3P_0(0^{++})$: с $s\bar{s}$ и $(u\bar{u} + d\bar{d})/\sqrt{2}$. Третье состояние $(u\bar{u} - d\bar{d})/\sqrt{2}$ имеет изоспин 1 и не смешивается с глюболом. Однако при этом глюбол 0^{++} может смешиваться с мезонами других мультиплетов, например с радиальными возбуждениями $2^3P_0(q\bar{q})$. Как обычно, смешивание усиливается для состояний с близкими массами, поэтому учет $q\bar{q}$ -примесей в глюболе определяется тем, какие конкретно $q\bar{q}$ -состояния оказались близкими к глюболу. Например, можно думать, что $f_0(1505)$ и $f_0(1590)$ сформировались в результате сильного смешивания GG - и $q\bar{q}$ -состояний.

Подчеркнем в заключение еще раз, что в каждом конкретном $q\bar{q}$ -состоянии примесь глюболевой компоненты подавлена как $1/N$ и поэтому не должна сильно возмущать структуру $q\bar{q}$ -состояний. Обратное влияние, а именно, возмущение структуры глюбола, нельзя считать малым.

8. Состояние $(I, J^{PC}) = (0, 0^{++})$: загадки структуры амплитуды в районе 1 ГэВ

Район масс 1000–1500 МэВ является ключевым для дешифровки спектроскопии экзотических состояний. Исключительно важную роль играют $(0, 0^{++})$ -состояния: именно они преподносят нам наибольшее число загадок. При этом вопросы возникают на весьма раннем этапе, при рассмотрении амплитуды в районе 600–1000 МэВ.

Наиболее прямой путь в изучении структуры $(0, 0^{++})$ -состояния — извлечение $\pi\pi$ -амплитуды методом выделения t -канальных полюсных диаграмм; многочисленные усилия были сделаны в этом направлении в течение последних тридцати лет. Обратимся к полученной методом Чу-Лоу фазе $\pi\pi$ -рассеяния δ_S^0 (рис. 12). Эта фаза не мала (примерно 60°) уже при $M_{\pi\pi} \simeq 600 \div 700$ МэВ, в интервале 800–900 МэВ она достигает 90° , затем резко возрастает, проходя через 180° при $M_{\pi\pi} \simeq 1000$ МэВ, а при 1100–1200 МэВ вновь близка к "резонансному" значению 270° . Простая интерпретация такого поведе-

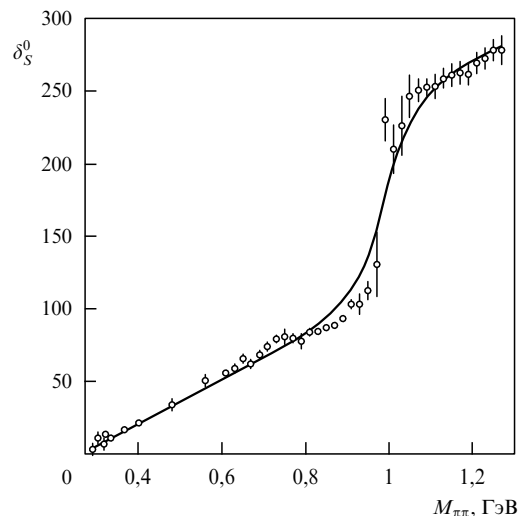


Рис. 12. Фаза δ_S^0 амплитуды $\pi\pi \rightarrow \pi\pi$ (кривая — ее описание формулами (51)–(53))

ния фазы — существование двух резонансов, широкого и узкого.

Сколь обоснована интерпретация структуры $\pi\pi$ -амплитуды как двухрезонансной?

Аналитическая структура $\pi\pi$ -амплитуды как функции s усложнена из-за наличия $K\bar{K}$ -пороговой сингулярности и из-за большой амплитуды перехода $\pi\pi \rightarrow K\bar{K}$: параметр неупругости η в амплитуде $\pi\pi \rightarrow \pi\pi$ приведен на рис. 13.

Как воздействует пороговая $K\bar{K}$ -сингулярность на полюса $\pi\pi$ -амплитуды?

Значения δ_S^0 и η_S^0 , приведенные на рис. 12 и рис. 13, были получены методом Чу-Лоу, т.е. выделением полюсного вклада диаграмм рис. 14 при $t \rightarrow \mu_\pi^2$. Можно поставить другую задачу — изучить процесс рис. 14а, варьируя t от малых значений до умеренно больших. Такое исследование было проведено в [65]: S -волновые спектры показаны на рис. 15. Наиболее примечательный результат — быстрое убывание широкого бампа с увеличением $|t|$, тогда как узкий резонанс $f_0(980)$ хорошо виден и при $|t| \simeq 0,5$ (ГэВ/с)². Это указывает на то, что широкий бамп имеет довольно рыхлую структуру, а $f_0(980)$ содержит в пионной составляющей волновой функции весьма жесткую компоненту.

В последние годы стала популярной интерпретация $f_0(980)$ -резонанса как мезонной молекулы или дейзона (комбинация слов дейтрон-мезон) [13, 66]. Предполагается, что эти "молекулы" выпадают из флейверной $SU(3)$ -систематики.

Согласуется ли существование жесткой компоненты в $f_0(980)$ -резонансе с его интерпретацией как $K\bar{K}$ -молекулы?

Экспериментальные данные, полученные в самое последнее время, позволяют проделать анализ аналитической структуры $\pi\pi$ -амплитуды. Ниже обсуждены результаты, базирующиеся на совместном анализе [65] следующих данных:

- 1) спектров $\pi^0\pi^0$ в реакции $\pi^-p \rightarrow \pi^0\pi^0n$ при рождении пионов с передачами в области $|t| < 1$ (ГэВ/с)² [14];
- 2) S -волновой $\pi\pi$ -амплитуды с $I = 0$ [2], полученной методом Чу-Лоу;

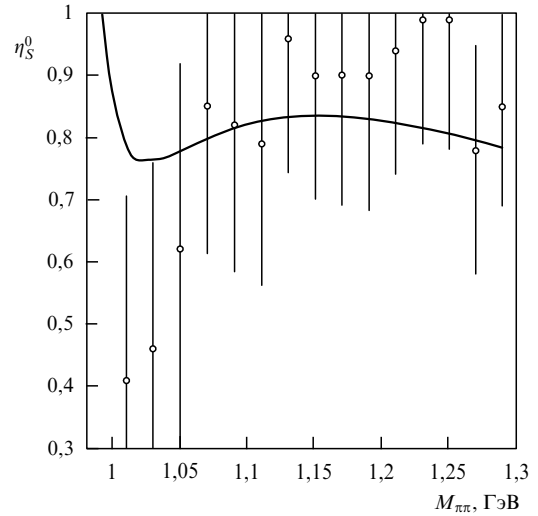


Рис. 13. Параметр неупругости η_S^0 амплитуды $\pi\pi \rightarrow \pi\pi$ (кривая — его описание формулами (51)–(53))

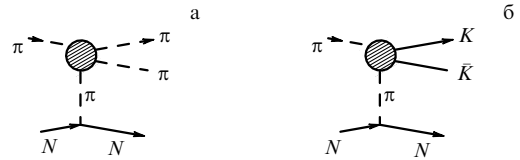


Рис. 14. Полюсные диаграммы, определяющие периферическое рождение $\pi\pi$ и $K\bar{K}$

3) спектров мезонов в трехчастичных реакциях $p\bar{p} \rightarrow \pi^0\pi^0\pi^0$, $p\bar{p} \rightarrow \eta\eta\pi^0$ [16] и $p\bar{p} \rightarrow \eta\pi^0\pi^0$ [19].

В разделе 5 была обсуждена методика анализа экспериментальных данных пунктов 2) и 3). Включение в анализ амплитуды рождения $\pi^0\pi^0$ -системы с ненулевыми передачами требует учета схода с массовой поверхности t -канального пиона в блоке $\pi^-\pi^+ \rightarrow \pi^0\pi^0$ (рис. 14а).

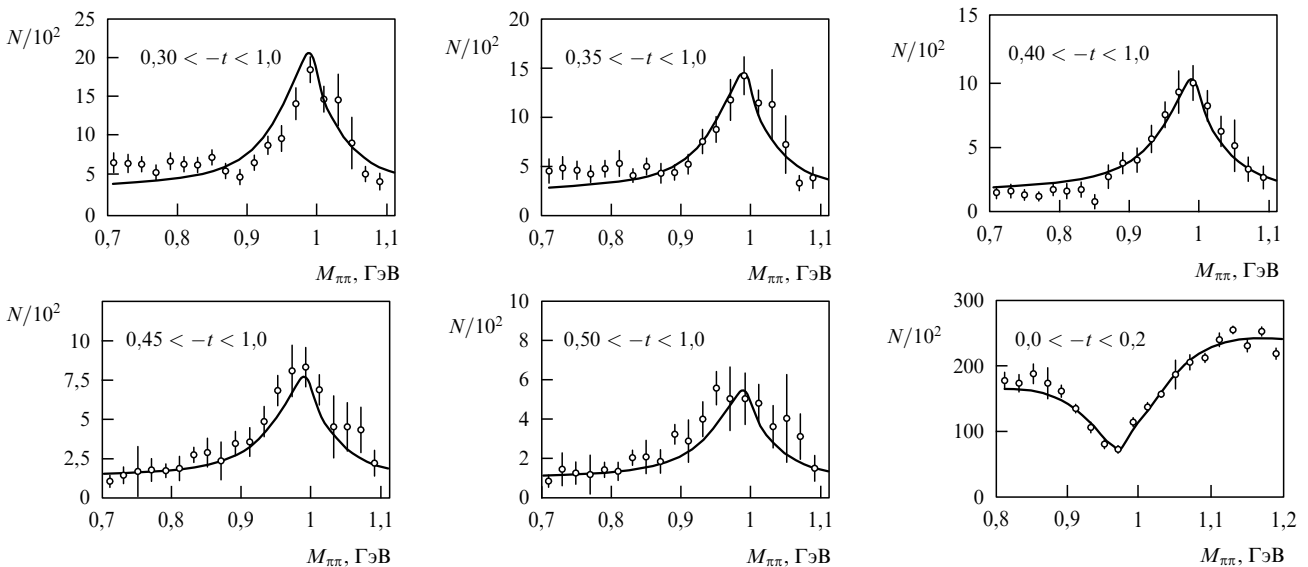


Рис. 15. Спектры масс $\pi\pi$ -системы в реакции $\pi^-p \rightarrow \pi^0\pi^0n$

Изокскалярная S -волновая амплитуда $\pi\pi \rightarrow \pi\pi$ в K -матричном представлении равна:

$$\langle \pi\pi | A | \pi\pi \rangle = \frac{K_{\pi\pi} + i(K_{\pi K}K_{K\pi} - K_{\pi\pi}K_{KK})}{1 - iK_{\pi\pi} - iK_{KK} + (K_{\pi K}K_{K\pi} - K_{\pi\pi}K_{KK})}. \quad (51)$$

Здесь $K_{\pi\pi} \equiv \langle \pi\pi | K | \pi\pi \rangle$, $K_{K\pi} \equiv \langle K\bar{K} | K | \pi\pi \rangle$ и $K_{KK} \equiv \langle K\bar{K} | K | K\bar{K} \rangle$. Фитирование данных, упомянутых в 1)–3), проводилось при параметризации элементов K -матрицы в двухполюсной форме:

$$K_{ab} = \sqrt{\rho_a} \left(f_{ab} + \frac{g_a g_b}{M_1^2 - s} + \frac{G_a G_b}{M_2^2 - s} \right) \frac{s - m_\pi^2/2}{s} \sqrt{\rho_b}, \quad (52)$$

индексы ab относятся к $\pi\pi$ - и $K\bar{K}$ -состояниям, $\rho_\pi = [(s - 4m_\pi^2)/s]^{1/2}$ и $\rho_K = [(s - 4m_K^2)/s]^{1/2}$, тогда как f_{ab} , g_a и G_a — константы. Фактор $(s - m_\pi^2/2)/s$ введен в K -матрицу для того, чтобы условие самосогласования Адлера [67] выполнялось автоматически. В результате описания экспериментальных данных получены следующие значения параметров (все размерные величины даны

в ГэВ):

$$\begin{aligned} M_1 &= 0,757, & M_2 &= 1,162, \\ g_\pi &= 0,885, & G_\pi &= 0,885, \\ g_K &= 0,474, & G_K &= -0,333, \\ f_{\pi K} &= 0,72, & f_{\pi\pi} &= f_{KK} = 0. \end{aligned} \quad (53)$$

Описание экспериментальных данных с использованием параметров (53) приведено на рис. 12, 13 и 15, аргандиagramмы для амплитуд процессов $p\bar{p} \rightarrow$ (три мезона) — на рис. 16. Параметры (53) хорошо описывают всю совокупность экспериментальных данных.

Полученная $\pi\pi$ -амплитуда имеет весьма сложную структуру. Попытаемся разобраться в ней, исключая по очереди тот или иной распадный канал. Это можно сделать, варьируя G_a , g_a и f .

При G_a , g_a и f , устремленных к нулю, полюса K -матрицы являются полюсами амплитуды. Таким образом, M_1 и M_2 есть те массы, которые имели бы резонансы, будь их ширины распадов в каналы $\pi\pi$ и $K\bar{K}$

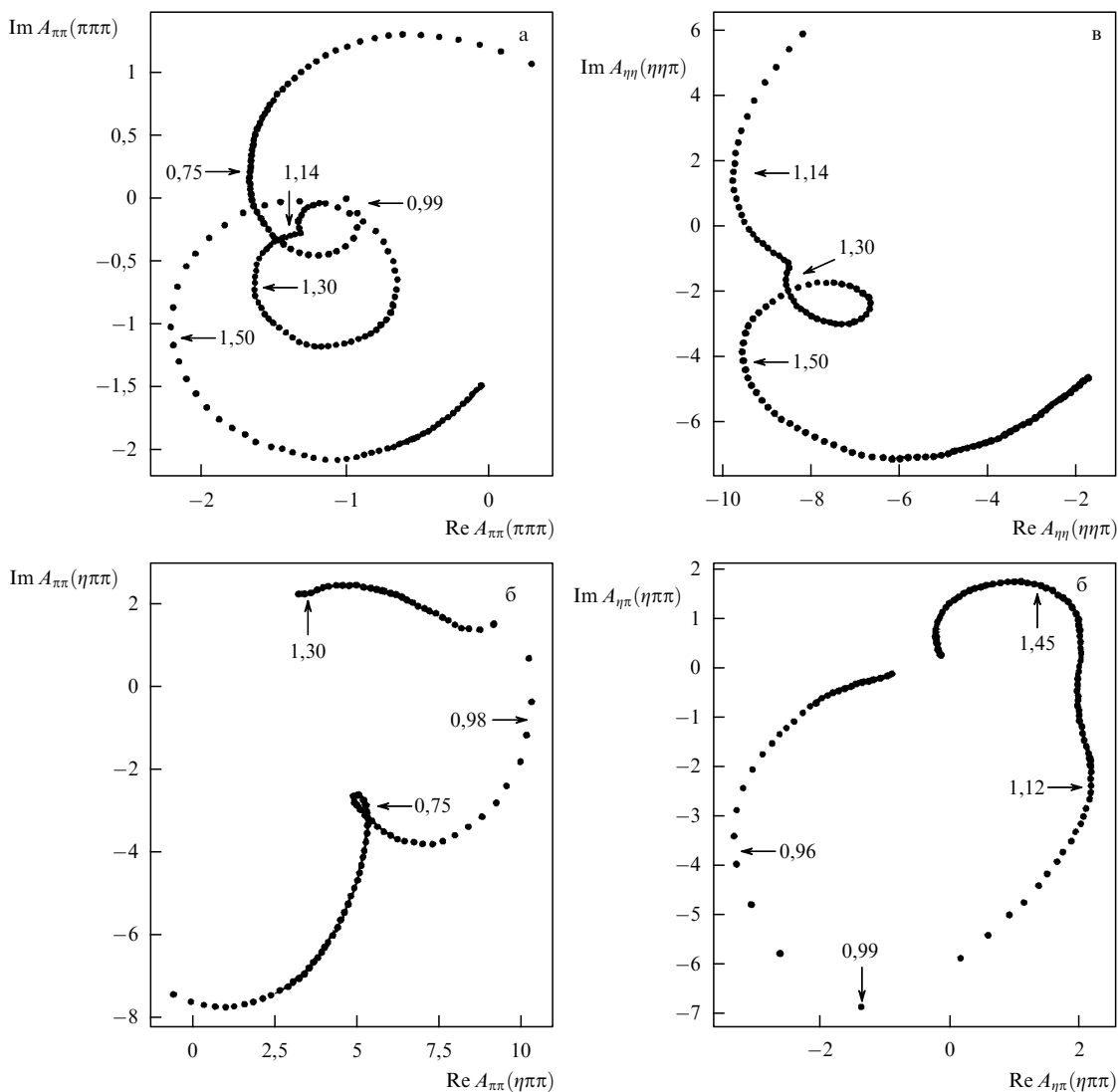


Рис. 16. Аргандиagramмы реакций $p\bar{p} \rightarrow \pi^0\pi^0\pi^0$ (а), $p\bar{p} \rightarrow \pi^0\pi^0\eta$ (б), $p\bar{p} \rightarrow \eta\eta\pi^0$ (в)

малы. Переходы

$$(\text{резонанс } 1) \rightarrow \left(\frac{\pi\pi}{K\bar{K}} \right) \rightarrow (\text{резонанс } 2), \quad (54)$$

как мы увидим ниже, приводят к сильному смешиванию первоначальных ("чистых") состояний 1 и 2, а сами смешанные (физические) состояния приобретают массы, сильно отличающиеся от M_1 и M_2 .

Прежде всего рассмотрим чистые состояния 1 и 2. Массы этих состояний соответственно находятся вблизи 800 и 1200 МэВ, константы связи этих состояний с каналами $\pi\pi$ и $K\bar{K}$ не малы. Посмотрим, к каким полуширинам приводили бы эти константы связи, если бы состояния 1 и 2 были физическими частицами:

$$\begin{aligned} \frac{\Gamma_1}{2} &= \frac{g_\pi^2 \rho_\pi(M_1^2)}{2M_1} \simeq 470 \text{ МэВ}, \\ \frac{\Gamma_2}{2} &= \frac{G_\pi^2 \rho_\pi(M_2^2)}{2M_2} + \frac{G_K^2 \rho_K(M_2^2)}{2M_2} \simeq 350 \text{ МэВ}. \end{aligned} \quad (55)$$

Это действительно были бы большие полуширины. Однако мы знаем, что в результате смешивания "частиц" 1 и 2 только одно физическое состояние сохраняет большую полуширину, тогда как другое состояние, $f_0(980)$, становится узким. Можно проследить динамику движения нулей знаменателя правой части (51) (они определяют комплексную массу резонансов) с "включением" смешивания. Для проведения "включения" можно воспользоваться простым приемом: сделать замену в знаменателе (51), $f \rightarrow xf$, $g_a \rightarrow xg_a$ и $G_a \rightarrow xG_a$ и далее изменять x от 0 (нет смешивания) до 1 (реальный случай, соответствующий описанию экспериментальных данных).

"Движение" полюсов $\pi\pi$ -амплитуды при изменении x от 0 до 1 показано на рис. 17. При $x = 0$ переходы "частиц" 1 и 2 в $\pi\pi$ - и $K\bar{K}$ -состояния отсутствуют, и полюса находятся на действительной оси $\sqrt{s} = M_{\pi\pi} = M_1 = 760$ МэВ и $M_{\pi\pi} = M_2 = 1160$ МэВ. При $x > 0$ полюса сдвигаются в комплексную плоскость. При этом с увеличением x полюса "частицы" 1 двигаются в сторону больших масс, приближаясь к $K\bar{K}$ -порогу, а масса "частицы" 2 уменьшается.

Обсудим более детально положение полюсов при $x = 0,5$. В этом случае мы имеем бы стандартную ситуацию с двумя обычными брейт-вигнеровскими полюсами. На втором листе полюс, связанный с первым резонансом, находится при $M_1^I(x = 0,5) \simeq 900 - i150$ МэВ, т.е. сравнительно недалеко от физической области. Сопряженный ему полюс, также относящийся к первому резонансу и обусловленный удвоением полюсов из-за пороговой $K\bar{K}$ -сингулярности, достаточно далек от физической области: он находится на третьем листе при $M_1^{III}(x = 0,5) \simeq 890 - i200$ МэВ. Два полюса, связанные со вторым резонансом, находятся при $M_2^{II}(x = 0,5) \simeq 1130 - i180$ МэВ (этот полюс расположен недалеко от физической области) и при $M_2^I(x = 0,5) \simeq 1120 - i190$ МэВ (полюс более удален от физической области).

В реальном случае ($x = 1$) оба полюса первого резонанса расположены сравнительно недалеко от физической области, они приблизились к $K\bar{K}$ -порогу:

$$M_1^I = 990 - i41 \text{ МэВ}, \quad M_1^{III} = 975 - i75 \text{ МэВ}. \quad (56)$$

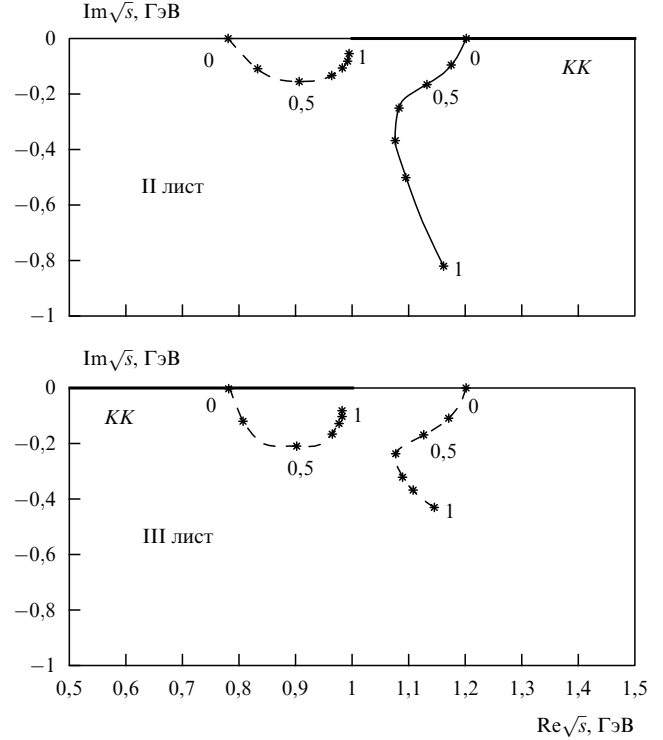


Рис. 17. "Движение" полюсов $\pi\pi$ -амплитуды (51) при "включении" констант связи g_π, g_K и G_π, G_K . Положения 0 соответствуют позициям полюсов при нулевых константах связи, положения 1 — физическим значениям констант связи, даваемым уравнением (53)

Полюса второго резонанса оказались весьма далеко от физической области. Ближайший полюс находится при

$$M_2^{III} = 1163 - i476 \text{ МэВ}. \quad (57)$$

Необходимо выяснить, что явилось причиной близости полюсов M_1 к физической области. Возможны две причины:

- существование $K\bar{K}$ -компоненты в связанном состоянии;
- смешивание состояний 1 и 2.

Чтобы оценить роль $K\bar{K}$ -компоненты, исключим ее полностью, положив $g_K = G_K = f = 0$. В этом случае $\pi\pi$ -амплитуда имеет полюса при

$$\begin{aligned} M_1^I(g_K = G_K = f = 0) &= 985 - i65 \text{ МэВ}, \\ M_2^I(g_K = G_K = f = 0) &\simeq 1100 - i1000 \text{ МэВ}, \end{aligned} \quad (58)$$

т.е. полюс M_1^I сдвинулся весьма мало. Вообще говоря, этого следовало ожидать: состояния 1 и 2 сильно связаны с $\pi\pi$ -каналом и на порядок слабее связаны с $K\bar{K}$, т.е.

$$\frac{g_K^2}{g_\pi^2} \simeq \frac{G_K^2}{G_\pi^2} \sim \frac{1}{10}. \quad (59)$$

Аналогичным образом можно убедиться, что именно интерференция состояний 1 и 2 приводит к малой ширине $f_0(980)$. Исключим состояние 2, положив $G_\pi = G_K = 0$. Это приведет к следующему положению полюса M_1^I :

$$M_1^I(G_\pi = G_K = 0) = 750 - i125 \text{ МэВ}. \quad (60)$$

Полюс имеет нормальную адронную ширину $\Gamma/2 = 125$ МэВ, он заметно удален от $K\bar{K}$ -порога, хотя эта

пороговая сингулярность присутствует в $\pi\pi$ -амплитуде при условии (60) из-за переходов, обусловленных ненулевыми константами g_K и f . "Эксперименты" с исключением $K\bar{K}$ -канала и состояния 2 однозначно показывают, что формирование узкого $f_0(980)$ -резонанса обусловлено переходами: состояние 1 $\rightarrow \pi\pi \rightarrow$ состояние 2.

Два полюса (56) интерпретируются как резонанс $f_0(980)$. Этот резонанс, по существу, определяется каналом $\pi\pi$: положение соответствующего полюса, как мы видим, не сильно изменяется при полном исключении $K\bar{K}$ -канала в феноменологической амплитуде (51). Это обстоятельство, совместно с результатами работы [14], указывающими на существование в резонансе $f_0(980)$ жесткой компоненты, делают маловероятной интерпретацию этого резонанса как $K\bar{K}$ -молекулы.

Широкий резонанс, определяемый полюсом (57), является, согласно классификации табл. 1, резонансом $f_0(1000)$. В табл. 1 этот резонанс интерпретируется как член $3P_0q\bar{q}$ -нонета, тогда как $f_0(980)$ является кандидатом в экзотические мезоны (в табл. 5 резонанс $f_0(980)$ предлагается рассматривать как скалярон). Проведенный анализ показывает условность такой классификации: чистые состояния 1 и 2 сильно смешиваются и каждый из физически наблюдаемых резонансов является смесью различных компонент. В предлагаемых схемах (см. табл. 1 и 5) это

$$\begin{aligned} f_0(1000) &\rightarrow \text{смесь: } 3P_0q\bar{q}\text{-состояние/скалярон;} \\ f_0(980) &\rightarrow \text{смесь: скалярон/}3P_0q\bar{q}\text{-состояние.} \end{aligned} \quad (61)$$

Точно так же, чистое $3P_0q\bar{q}$ -состояние есть смесь $f_0(1000)/f_0(980)$, а чистый скалярон — ортогональная комбинация этих резонансов $f_0(980)/f_0(1000)$.

Проведенное исследование позволяет полагать, что совокупный вклад двух резонансов и есть σ -мезон [68], играющий столь важную роль в низкоэнергетической физике адронов и в ядерной физике.

9. Мультиплет $1^3P_0q\bar{q}$

При определении базисного $3P_0q\bar{q}$ -нонета в настоящее время возникает следующая дилемма.

1) Можно принять, как это сделано в табл. 1, в качестве основного $q\bar{q}$ -нонета состояния

$$1^3P_0: a_0(980), f_0(1000)/f_0(980), f_0(1240), K_0(1430). \quad (62)$$

Тогда второе низкоэнергетическое скалярное состояние $f_0(980)/f_0(1000)$ является "лишним", т.е. это состояние должно рассматриваться как экзотическое.

2) Но можно полагать, следуя [8, 11], что базисный 1^3P_0 мультиплет расположен сравнительно высоко по массовой шкале, выше других P -волновых мультиплетов, а именно,

$$1^3P_0: a_0(1415), f_0(1335), f_0(1590)/f_0(1505), K_0(1430). \quad (63)$$

В этом случае имеется три "лишних" мезона в районе 1000 МэВ:

$$a_0(980), f_0(980), f_0(1000). \quad (64)$$

В схеме 2) трудно объявить все три резонанса (64) экзотическими: было бы желательно убрать широкий

резонанс $f_0(1000)$, ссылаясь на то, что положение резонансного полюса находится весьма глубоко в комплексной плоскости и аналитическое продолжение $\pi\pi$ -амплитуды в столь отдаленный район является неоднозначным. Однако при этом нельзя не считаться с тем обстоятельством, что фаза $\pi\pi$ -рассеяния δ_S^0 дважды становится "резонансной" в районе 800–1200 МэВ, пересекая значения 90° и 270° , а на арган-плоте амплитуда при увеличении энергии, соответственно, делает две петли. В схеме 2) такое "квазирезонансное" поведение амплитуды вблизи 1000 МэВ нужно относить за счет сильного низкоэнергетического взаимодействия пионов. Неприятным фактом для такой интерпретации является то, что в настоящее время не видны источники подобного сильного низкоэнергетического взаимодействия. Наверное, здесь уместно также напомнить о попытках в прошлом объяснить бампы в адронных сечениях без включения в рассмотрение резонансов-частиц. В начале 50-х широко дискутировалось, следует ли рассматривать Δ -резонанс в качестве частицы, несколько позже подобное же обсуждение велось относительно бампа в πN -сечении в районе 1700 МэВ: во всех случаях, как мы знаем сейчас, интерпретация этих иррегулярностей в сечениях в качестве резонансов-частиц оказалась корректной с точки зрения раскрытия их кварк-глюонной структуры.

В схеме 2) после ликвидации $f_0(1000)$ как резонанса-частицы нужно объяснить, какого типа экзотическими мезонами являются резонансы $a_0(980)$ и $f_0(980)$. Весьма интенсивно обсуждается интерпретация этих резонансов как $K\bar{K}$ -молекул [13, 66].

Структура полюсов, соответствующих $a_0(980)$, изучалась в [19, 20]. Согласно результатам этих исследований знаменатель амплитуд в $K\bar{K}$ - и $\pi\eta$ -каналах имеет вид:

$$\begin{aligned} (M^2 - s) \det |\hat{D}| &= M^2 - s - ig_K^2 \rho_K - ig_{\pi\eta}^2 \rho_{\pi\eta}, \quad (65) \\ M &= 1,012, \quad g_K = 1,52, \quad g_{\pi\eta} = 1,87. \end{aligned}$$

Здесь ρ_K и $\rho_{\pi\eta}$ — фазовые объемы $K\bar{K}$ - и $\pi\eta$ -систем (все размерные величины даны в ГэВ). Нули (65) соответствуют полюсам амплитуд. Оба полюса находятся вблизи $K\bar{K}$ -порога, на втором и третьем листах:

$$\begin{aligned} a_0(980): \quad M^{\text{II}} &= 1014 - i41 \text{ МэВ}, \\ M^{\text{III}} &= 957 - i106 \text{ МэВ}. \end{aligned} \quad (66)$$

Мы видим, что здесь ситуация с полюсами подобна той, что наблюдается для $f_0(980)$: они расположены вблизи действительной оси и совместно с пороговой сингулярностью производят сравнительно узкие каспы в сечениях. Узость видимой ширины и лежит в основе интерпретации $a_0(980)$ как $K\bar{K}$ -молекулы. Однако с такой интерпретацией не согласуются большие величины g_K и $g_{\pi\eta}$ — констант связи с каналами $K\bar{K}$ и $\pi\eta$. Другое противоречие состоит в том, что вероятности рождения $a_0(980)$ в адронных реакциях не малы — это неестественно при молекулярной структуре $a_0(980)$.

Напомним, что в предыдущем разделе были приведены аналогичные аргументы против интерпретации $f_0(980)$ в качестве $K\bar{K}$ -молекулы.

В [10] предлагалось рассматривать резонансы $f_0(980)$ и $a_0(980)$ как миньоны, отличительное свойство которых — их слабая связь с легкими кварками, а следовательно, и с обычными адронами. В действительности, как показывает детальный анализ, константы связи этих

резонансов с адронными каналами $\pi\pi$, $\pi\eta$ и $K\bar{K}$ не малы, и это противоречит интерпретации $f_0(980)$ и $a_0(980)$ в качестве минонов.

Резюмируя, следует сказать, что схема 2) встречается с трудными проблемами.

а) В этой схеме нонет 3P_0 находится выше других P -волновых мезонов, что требует ревизии существующих кварковых моделей, связанной с введением нового типа межкварковых взаимодействий.

б) Схема содержит группу состояний ($a_0(980)$, $f_0(980)$ и $f_0(1000)$) как не попадающую в $q\bar{q}$ -классификацию, так и не укладывающуюся в существующие в настоящее время версии экзотики.

Схема 1) имеет нормальное расположение P -волновых мезонов с точки зрения обсуждаемых в настоящее время кварк-антикварковых взаимодействий: нонет скалярных мезонов является нижним. В этой схеме имеется одно экзотическое состояние — $f_0(980)/f_0(1000)$. Можно предполагать, что это белый хиггсовский мезон эффективного лагранжиана (40) (или скалярон [57]), обязанный своим возникновением сохранению цветовой симметрии в области мягких взаимодействий.

В схеме 1) вторым ($0, 0^{++}$)-мезоном с доминирующей $s\bar{s}$ -компонентой является $f_0(1240)$. Этот резонанс наблюдался в канале $K_S^0 K_S^0$ [21]. На рис. 18 показан квадрат S -волновой $K_S^0 K_S^0$ -амплитуды, имеющей ярко выраженный пик в районе резонанса. Однако следует иметь в виду, что это единственное наблюдение: $f_0(1240)$ -резонанс нуждается в подтверждении. В настоящее время коллаборация Crystal Barrel имеет данные по аннигиляции в покое $p\bar{p} \rightarrow K\bar{K}\pi$ со статистикой в несколько сот тысяч случаев, которые находятся в процессе обработки [69]; это позволяет надеяться, что в недалеком будущем ситуация с рождением $f_0(1240)$ и других скалярных резонансов в канале $K\bar{K}$ будет намного яснее.

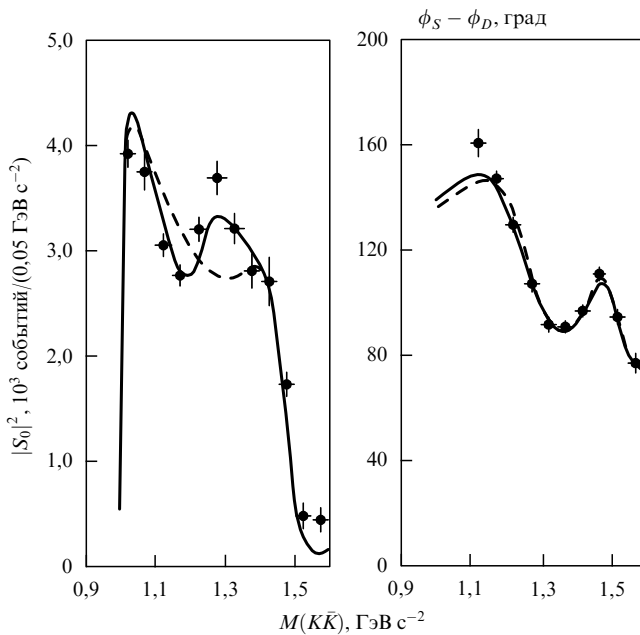


Рис. 18. $|S_0|^2$ и $|\phi_S - \phi_D|$, полученные в результате фита амплитуды $\pi\pi \rightarrow K_S^0 K_S^0$ с $I = 0$. Сплошная кривая — результаты фита с $f_0(1240)$, штриховая — без $f_0(1240)$

10. Где находится 0^{-+} -глюбол?

Как показывает проведенное выше обсуждение, имеется много аргументов в пользу того, что в интервале масс 1500–2000 МэВ наблюдаются глюболы $0^{++}(1505)$, $2^{++}(1710)$ и $1^{-+}(1910)$. Порядок следования этих глюболов такой, как предсказывается в моделях, рассматривающих чисто глюонные состояния. Однако существует факт, не вписывающийся в эту "идиллическую картину": в районе масс 1500–2000 МэВ не видно резонанса, который мог быть 0^{-+} -глюболом. Более того, в спектрах радиационного J/ψ -распада резонанс 0^{-+} виден при заметно меньших массах, вблизи 1440 МэВ.

Обратимся к данным по реакции $J/\psi \rightarrow \gamma K\bar{K}\pi$, приведенным на рис. 19 [70, 71]: в спектре $K\bar{K}\pi$ наблюдается пик (не вполне правильной формы) в районе 1400–1500 МэВ, но не видно каких-либо указаний на резонанс в районе 1600–2000 МэВ. Бамп при 1400–1500 МэВ соответствует, главным образом, моде $K^* \bar{K}$ (или $\bar{K}^* K$), другая мода этого бампа есть $a_0(980)\pi$ [72–74] (рис. 20), квантовые числа в обеих модах $I, J^{PC} = 0, 0^{-+}$. Экспериментальные данные свидетельствуют в пользу двухполюсной (двухрезонансной) структуры бампа (более детально мы обсудим это ниже): один из этих резонансов, обозначенный $\eta'(1440)$, включен в табл. 1 в качестве члена нонета 2^1S_0 .

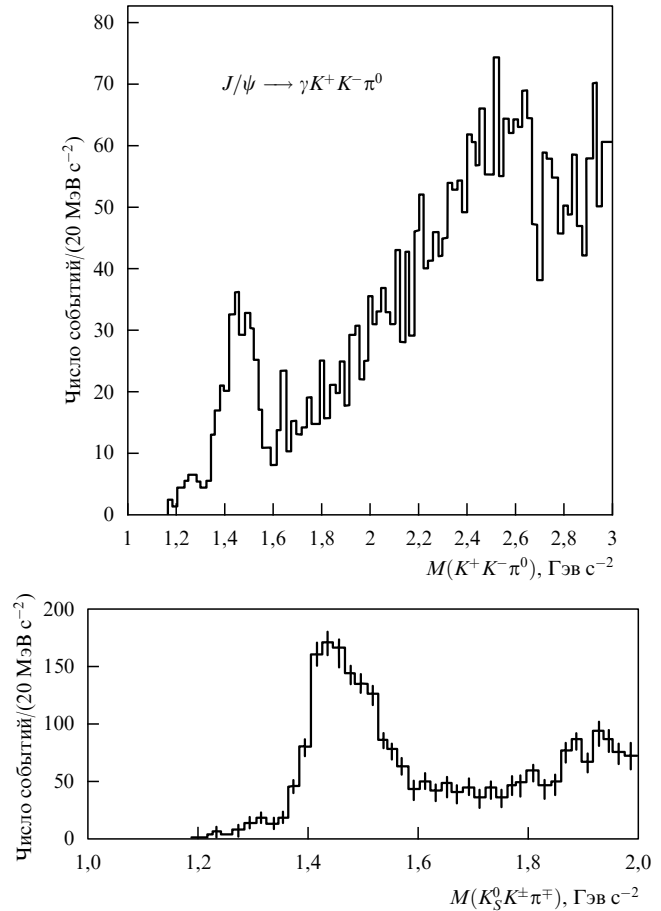


Рис. 19. Спектры $K^+ K^- \pi^0$ [71] и $K_S^0 K^\pm \pi^\mp$ [70] в радиационном распаде $J/\psi \rightarrow \gamma K\bar{K}\pi$

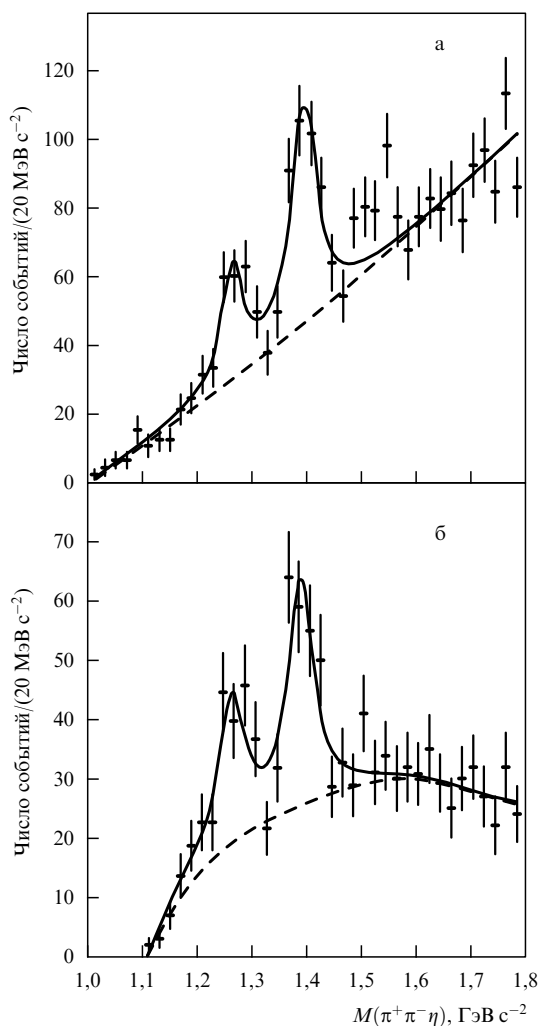


Рис. 20. $\pi^+\pi^-\eta$ — массовое распределение в реакции $J/\psi \rightarrow \gamma\pi^+\pi^-\eta$ без (а) и после (б) выделения $a_0(980)\pi$ событий. Пики соответствуют переходам $J/\psi \rightarrow \gamma\eta(1295)$ и $J/\psi \rightarrow \gamma\eta(1440)$

В компиляции [1] содержится резонанс $\eta(1760)$, который мог быть кандидатом в 0^{++} -глоболы. Однако повторный анализ экспериментальных данных $J/\psi \rightarrow \gamma + \pi^+\pi^-\pi^+\pi^-$, проведенный недавно [24], не подтвердил результаты предыдущего фита: бамп в районе 1760 МэВ (рис. 21) имеет квантовые числа 2^{++} . Этот бамп, обозна-

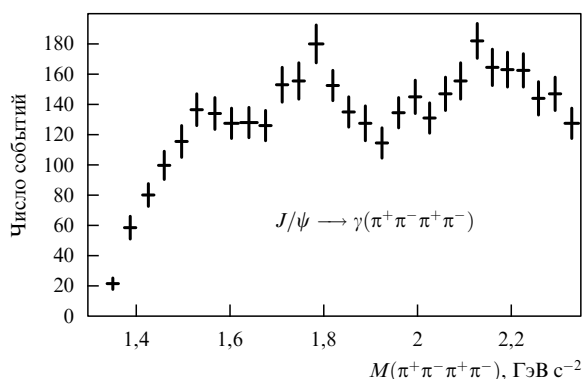


Рис. 21. Спектр четырех пионов в радиационном распаде $J/\psi \rightarrow \gamma\pi^+\pi^-\pi^+\pi^-$

ченный в [24] как $2^{++}(1780)$, скорее всего обусловлен вкладами $f_2(1710)$ и $f_2(1810)$. Сильное рождение $f_2(1710)$, наблюдаемого в радиационном распаде $J/\psi \rightarrow \gamma + \bar{K}K$ и являющегося хорошим кандидатом в 2^{++} -глоболы, не удивительно. Заметное же рождение резонанса $f_2(1810)$, наблюдавшегося ранее группой ГАМС [12], должно указывать на заметную примесь GG -компоненты в этом резонансе (в табл. 1 $f_2(1810)$ классифицирован как член 2^3P_2 -мультиплета). Два других пика в спектре $\pi^+\pi^-\pi^+\pi^-$ имеют квантовые числа 0^{++} ; параметры всех трех пиков в распаде $J/\psi \rightarrow \gamma + \pi^+\pi^-\pi^+\pi^-$ следующие:

J^{PC}	Масса	Ширина	Мода распада
0^{++}	1505	148	$\sigma\sigma(92\%) + \rho\rho(8\%)$
2^{++}	1780	150	$\sigma\sigma(30\%) + \rho\rho(70\%)$
0^{++}	2104	200	$\sigma\sigma(88\%) + \rho\rho(12\%)$

Здесь σ обозначает суммарный вклад $\pi\pi$ в S -волне с $I = 0$, т.е. $f_0(1000) + f_0(980)$.

Таким образом, нет экспериментальных указаний на существование 0^{-+} -глобола в районе 1550–1950 МэВ: именно в этом интервале масс, между нижним 0^{++} -глоболом и экзотическим 1^{-+} -глоболом, казалось бы естественным ожидать существования такого связанного GG -состояния.

Итак, где же 0^{-+} -глобол? Если бамп в спектрах радиационных J/ψ -распадов в районе 1400–1500 МэВ содержит 0^{-+} -глобол, то почему его масса оказалась меньше 1500 МэВ, т.е. почему этот глобол оказался самым легким? Скорее всего, ответы на эти вопросы даны в гипотезе, высказанной Герштейном, Лиходедом и Прокошкиным (ГЛП-гипотеза) более десяти лет назад [75]: нижние псевдоскалярные η -мезоны содержат существенные примеси глюонной компоненты, т.е. компоненты 0^{-+} -глобола. Таким образом, согласно ГЛП-гипотезе, примеси 0^{-+} -глобального состояния содержатся в $\eta(550)$, $\eta'(960)$ и, естественно полагать, также в псевдоскалярных мезонах радиальных возбуждений, в $\eta(1295)$ и $\eta'(1440)$ и т.д. В этом случае "глобол" 0^{-+} , получив весьма значительную примесь $q\bar{q}$ -компоненты, мог спуститься в область меньших масс, в район 1400–1500 МэВ. Тогда то, что мы называем $\eta(1440)$, является в действительности двухполюсной структурой: каждый полюс соответствует состоянию, которое представляет собой смесь $q\bar{q}$ - и GG -компонент, при этом определенные доли GG -компоненты "ушли" также в $\eta(550)$, $\eta'(960)$, $\eta(1295)$ и другие псевдоскалярные $q\bar{q}$ -состояния.

Экспериментальные данные по радиационным распадам J/ψ подтверждают ГЛП-гипотезу о заметной примеси GG -компоненты в η и η' . Давайте сравним парциальные вероятности (Γ_i/Γ) в распадах $J/\psi \rightarrow \gamma + 0^{-+}$ -мезон [1, 72]:

$$\begin{aligned}
 J/\psi &\rightarrow \gamma\eta && (0,86 \pm 0,08) \times 10^{-3}, \\
 &\rightarrow \gamma\eta' && (4,3 \pm 0,03) \times 10^{-3}, \\
 &\rightarrow \gamma\eta(1295) \rightarrow \gamma(\eta\pi\pi) && (0,52 \pm 0,16) \times 10^{-3}, \\
 &\rightarrow \gamma\eta(1440) \rightarrow \gamma(\eta\pi\pi) && (1,4 \pm 0,4) \times 10^{-3}, \\
 &\rightarrow \gamma\eta(1440) \rightarrow \gamma(K\bar{K}\pi) && (0,91 \pm 0,18) \times 10^{-3}. \quad (67)
 \end{aligned}$$

Радиационное рождение η и η' того же порядка, что и $\eta(1440)$, и не подавлено по сравнению с другими радиационными распадами J/ψ .

Если полюс, связанный с 0^{-+} -глюболом, сдвинулся в область масс 1400–1500 МэВ, то, как говорилось выше, в этой окрестности следует ожидать два полюса: второй полюс должен быть связан с первым радиальным возбуждением η' -мезона (см. табл. 1 и рис. 1). Экспериментальные данные согласуются с идеей существования двух псевдоскалярных резонансов в районе 1400–1500 МэВ: данные по распаду $J/\psi \rightarrow \gamma(\pi\pi\eta)$ [72–74] указывают на существование пика вблизи 1400 МэВ, тогда как канал $J/\psi \rightarrow K\bar{K}\pi$ [70] хорошо согласуется с рождением двух резонансов с массами 1420 и 1490 МэВ. Адронное рождение $\eta(1440)$ также указывает на существование двух резонансов с массами 1410 и 1490 МэВ [76].

Итак, возможно, что полюс, связанный с 0^{-+} -глюболом, ушел вниз по массовой шкале из-за большого смешивания с $q\bar{q}$ -компонентами лежащих ниже η -мезонов. В соответствии с этим $\eta(550)$ и $\eta'(960)$ получили значительные добавки GG -компоненты. Тогда в районе 1400–1500 МэВ имеется два 0^{-+} -резонанса: один из них есть "остаток-воспоминание" о глюболе 0^{-+} , другой — радиальное возбуждение η' -мезона ($2^1S_0 q\bar{q}$), смешанное с GG -компонентой.

11. Процесс $J/\psi \rightarrow \gamma + GG$ как мера примеси глюонной компоненты в мезонах

Правила $1/N$ -разложения говорят о том, что примеси глюонных компонент, хотя и не являются доминирующими, вполне заметны в $q\bar{q}$ -мезонах, тогда как сами глюонные состояния содержат большие примеси кварк-антикварковых компонент из-за усиления, обусловленного большим числом флейверов (фактор N_f). Процесс $J/\psi \rightarrow \gamma + GG$ с последующим переходом $GG \rightarrow$ мезоны (рис. 22) дает возможность взглянуть непосредственно на распределение GG -компоненты по адронным состояниям.

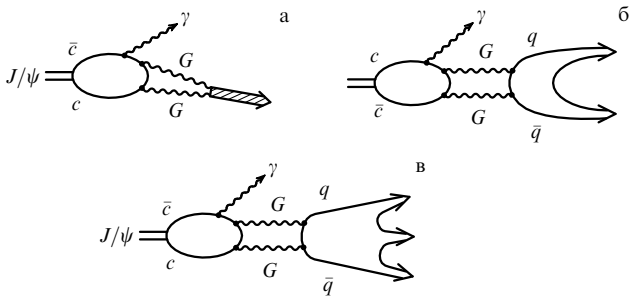


Рис. 22. Одномезонный радиационный распад J/ψ (а) и многомезонные распады (б, в)

Рис. 21 и рис. 23 демонстрируют спектры $\pi^+\pi^-\pi^+\pi^-$ и $K\bar{K}$ в распадах $J/\psi \rightarrow \gamma + \pi^+\pi^-\pi^+\pi^-$ и $J/\psi \rightarrow \gamma + K\bar{K}$. В обоих случаях наблюдается усиленное рождение резонансов в районе 1500–2000 МэВ (процесс, показанный на рис. 22а). Фоновое рождение двух каонов в процессе $J/\psi \rightarrow \gamma + K\bar{K}$ (рис. 22б) является максимальным в области 2000–2500 МэВ. В реакции $J/\psi \rightarrow \gamma + \pi^+\pi^-\pi^+\pi^-$ нерезонансное рождение мезонов, согласно результатам анализа [24], мало при $M_{\pi\pi\pi\pi} < 1900$ МэВ и начинает играть заметную роль лишь при $M_{\pi\pi\pi\pi} > 2000$ МэВ. В спектре $K\bar{K}\pi$ распада $J/\psi \rightarrow \gamma + K\bar{K}\pi$ (см. рис. 19) в

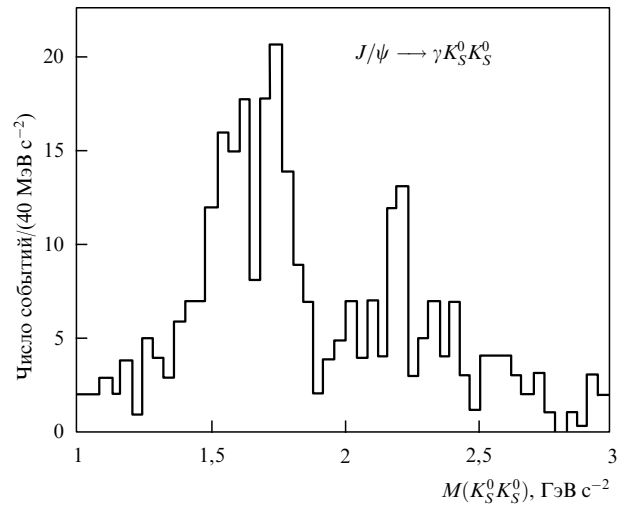
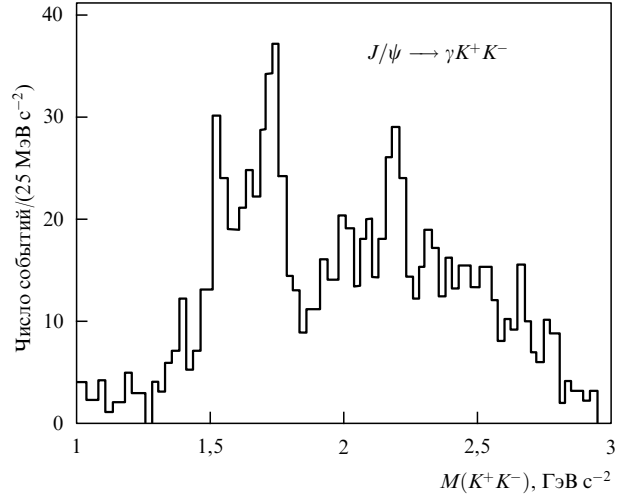


Рис. 23. Спектры $K\bar{K}$ -мезонов в распаде $J/\psi \rightarrow \gamma K\bar{K}$ [71]

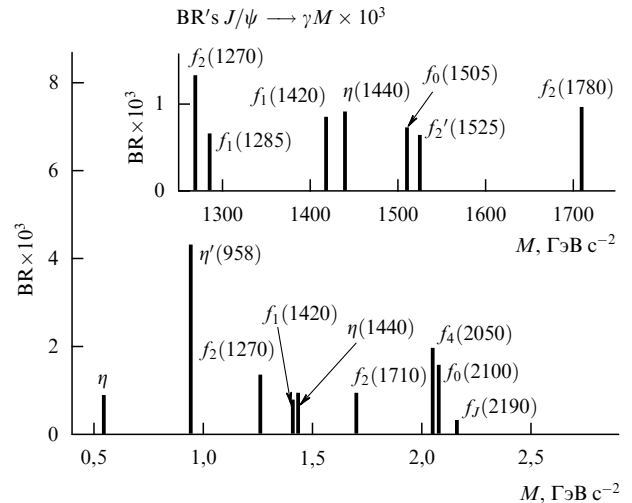


Рис. 24. Относительные вероятности $BR = \Gamma_x/\Gamma$ рождения мезонов X в радиационных распадах $J/\psi \rightarrow \gamma + X$

области небольших масс наблюдается сильное рождение $\eta(1440)$, а далее спектр плавно увеличивается без видимых структур (вклад процессов рис. 22б, в), достигнув максимума в области 2300–2900 МэВ. Это указывает на то, что GG -компонента концентрируется в одномезон-

ных состояниях, главным образом, в резонансах из области 1500–2000 МэВ, в двухмезонных состояниях — в области эффективных масс больше 2000 МэВ, в трехмезонных состояниях — при эффективных массах больше или порядка 2300 МэВ.

Поучительно взглянуть на отдельные вероятности рождения мезонов в переходах $J/\psi \rightarrow \gamma + \text{мезон}$ (рис. 24). Рисунок наглядно показывает, что глюонная компонента GG рассредоточилась по большому числу мезонов. Поэтому проблема нахождения резонансов-наследников глоболов, в основном, задача мезонной систематики: это есть нахождение состояний, не укладывающихся в кварковую классификацию.

12. Заключение

Благодаря экспериментальным исследованиям, проведенным в последние годы, контуры физики глоболов начинают вырисовываться.

Имеется два состояния, скалярное $f_0(1505)$ и тензорное $f_2(1710)$, явно не укладывающиеся в $q\bar{q}$ -систематику. Это те состояния, которые с определенной долей условности можно называть низшими глоболами. Условность заключается в том, что глоболы, согласно правилам $1/N$ -разложения, могут легко смешиваться с соседними $q\bar{q}$ -состояниями. Поэтому резонансы $f_0(1505)$ и $f_2(1710)$ должны представлять собой "остатки" GG -глоболов после их смешивания с $q\bar{q}$ -компонентами. Обратно, чистые глобальные состояния должны представлять собой суперпозицию реальных резонансных состояний: их удобно представлять в виде столбцов Фока. Таким образом, низший скалярный чистый глобол (S -волновое GG -состояние) должен быть суперпозицией $f_0(1505)$ и близлежащих скалярных резонансов:

$$0^{++}(GG)_S = \begin{bmatrix} f_0(1505) \\ f_0(1590) \\ \dots \end{bmatrix}. \quad (68)$$

Аналогично, низшее тензорное чистое глобальное состояние есть суперпозиция $f_2(1710)$ и ближайших соседей:

$$2^{++}(GG)_S = \begin{bmatrix} f_2(1710) \\ f_2(1810) \\ \dots \end{bmatrix}. \quad (69)$$

В фокские столбцы (68), (69) включены только ближайшие соседи резонансов $f_0(1505)$ и $f_2(1710)$, однако вряд ли только с этими состояниями смешивается GG -компонента. Потребуется очень большие усилия, чтобы воссоздать полную картину смешивания состояний $0^{++}(GG)_S$ и $2^{++}(GG)_S$ с $q\bar{q}$ -состояниями.

Радиационные распады J/ψ -мезона определенно указывают на то, что псевдоскалярный глобол рассредоточился по низколежащим η -состояниям:

$$0^{-+}(GG)_P = \begin{bmatrix} \eta(1450) \\ \eta'(1420) \\ \eta(1280) \\ \eta'(958) \\ \eta(550) \\ \dots \end{bmatrix}. \quad (70)$$

Возможно, это смешивание привело к тому, что глобальное 0^{-+} -состояние сместилось вниз по массовой шкале.

Сильное смешивание GG - и $q\bar{q}$ -компонент есть основная причина, мешающая однозначному выделению глобальных состояний. Поэтому особую роль приобретает исследование глоболов с экзотическими квантовыми числами, т.е. глоболов, у которых $q\bar{q}$ -компонента отсутствует. Есть основания полагать, что мы имеем такой резонанс — это пик в $\eta\eta'$ -системе при 1910 МэВ:

$$1^{-+}(GG)_P = X(1910). \quad (71)$$

Однако прямых измерений квантовых чисел этого резонанса проведено не было. Подтверждение экзотических квантовых чисел этого резонанса является исключительно важным с точки зрения фиксации схемы чистых глобальных состояний.

Имеется "лишнее" 0^{++} -состояние в районе 1000 МэВ, не укладывающееся ни в $q\bar{q}$ -, ни в GG -классификации. Это может быть белая скалярная хиггсовская частица (скалярон), обязанная своим возникновением сохранению цветовой симметрии на умеренно больших расстояниях. Наблюдаемые в районе 1000 МэВ резонансы $f_0(980)$ и $f_0(1000)$ являются суперпозициями "лишнего" 0^{++} -состояния (скалярона) и ${}^3P_0q\bar{q}$ -состояния. Оба состояния сильно связаны с каналом $\pi\pi$ (т.е. с нестранными кварками), и это является причиной их сильного смешивания в наблюдаемых резонансах. В свою очередь, скалярон есть суперпозиция резонансов $f_0(980)$ и $f_0(1000)$:

$$S(0^{++}) = \begin{bmatrix} f_0(980) \\ f_0(1000) \end{bmatrix}. \quad (72)$$

Малая ширина $f_0(980)$ есть результат смешивания $S(0^{++})$ - и ${}^3P_0q\bar{q}$ -состояний, а не присутствия $K\bar{K}$ -порога: даже при полном "выключении" этой пороговой сингулярности положение полюса на втором листе, соответствующее $f_0(980)$, меняется слабо.

Так называемый σ -мезон, играющий важную роль в низкоэнергетической физике адронных взаимодействий и в ядерной физике, представляет собой суммарный вклад скалярона и ${}^3P_0q\bar{q}$ -состояния.

В заключение мне приятно выразить свою глубокую благодарность Д.В. Баггу, С.С. Герштейну, Л.Г. Дахно, Ю.Д. Прокошкину и А.В. Саранцеву за многочисленные полезные обсуждения.

Список литературы

1. Particle Data Group: Montanet L et al. *Phys. Rev. D* **50** 1173 (1994)
2. Rosselet L et al. *Phys. Rev. D* **15** 574 (1977); Grayer G et al. *Nucl. Phys. B* **75** 189 (1974); Ochs W (University of Munich, Ph. D. thesis, 1974)
3. Прокошкин Ю Д, Кондашев А А *ЛАН* **336** 613 (1994)
4. Morgan D, Pennington M R *Phys. Rev. D* **48** 1185, 5422 (1993)
5. Zou B S, Bugg D V *Phys. Rev. D* **48** R3948 (1993)
6. Godfrey S, Isgur N *Phys. Rev. D* **32** 189 (1985)
7. Anisovich V V, Metsch B Ch, Petry H R, Sarantsev A V *Z. Phys. A* **351** 417 (1995)
8. Close F E, in *Proc. XXVI Int. Conf. on High Energy Physics* (Dallas, 1992) p. 543 (American Institute of Physics, 1993)
9. Gribov V N *Possible solution of the problem of quark confinement* Lund Preprint LU-TP 91-7 (1991)
10. Close F E et al. *Phys. Lett. B* **319** 291 (1993)

11. Bugg D V *Hadron spectroscopy*, in *Proc. Int. Europhysics Conf. on High Energy Physics* (Marseille, France, 1993) (Ed. J Carr, M Perrottet, Editions Frontieres, 1993)
12. Бинон Ф и др. *ЯФ* **38** 934 (1983); *Nuovo Cimento A* **78** 313 (1983)
13. Weinstein J, Isgur N *Phys. Rev. D* **27** 588 (1983); *D* **41** 2236 (1990)
14. Kondashov A A et al., in *Paper presented at 27th Int. Conf. on High Energy Physics* (Glasgow, 1994); Прокошкин Ю Д и др. *ДАН* (1995) (в печати); Alde D et al. Preprint CERN-PPE/94-157(1994) (to be published in *Z. Phys.C*)
15. Прокошкин Ю Д Частное сообщение
16. Anisovich V V et al. *Phys. Lett. B* **323** 233 (1994)
17. Anisovich V V, Bugg D V, Sarantsev A V, Zou B S, in *Proc. NAN'93 Conf.* (Moscow, 1993); *Phys. Atom. Nucl.* **57** 1666 (1994)
18. Aker E et al. *Phys.Lett. B* **260** 249 (1991)
19. Amsler C et al. *Phys. Lett. B* **333** 277 (1994)
20. Anisovich V V, Bugg D V, Sarantsev A V, Zou B S *Phys. Rev. D* **50** 1975 (1994); Bugg D V et al. *Phys. Rev. D* **50** 4412 (1994)
21. Etkin A et al. *Phys. Rev. D* **25** 2446 (1982)
22. Cooper A R, Ph.D. thesis (University of London, 1994)
23. Алди Д и др. *Письма в ЖЭТФ* **44** 441 (1986); *ЯФ* **54** 745 (1991); *Phys. Lett. B* **284** 455 (1992)
24. Anisovich V V et al. *Resonances in $J/\psi \rightarrow \gamma(\pi^+\pi^-\pi^+\pi^-)$* Preprint PNPI TH-59-1994-2001 (1994)
25. Prokoshkin Yu D, in *Proc. HADRON'87, KEK* (Tsukuba, 1987) p. 29
26. Алди Д и др. *ЯФ* **47** 997 (1988); **47** 1273 (1988)
27. Augustin I et al. *Phys. Rev. Lett.* **60** 2238 (1988)
28. Алди Д и др. *ЯФ* **48** 1724 (1988); **54** 751 (1991)
29. Zaitsev A et al. (VES Collaboration), in *Proc. 27th Int. Conf. on High Energy Physics* (Glasgow, 1994)
30. t'Hooft G *Nucl. Phys. B* **72** 461 (1974)
31. Veneziano G *Nucl. Phys. B* **117** 519 (1976)
32. Augustin I et al. *Z. Phys. C* **36** 369 (1987)
33. Chen L-P, in *Proc. "Hadron-91"* (College Park Maryland, 1992) p. 111. (Eds S Oneda, D Peaslee) (Singapore: World Scientific, 1992)
34. Болонкин М и др. *ЯФ* **46** 451 (1987); *Nucl. Phys. B* **309** 426 (1988); Armstrong D S et al. *Phys. Lett. B* **227** 186 (1989)
35. Chew G F, Mandelstam S *Phys. Rev.* **119** 467 (1960)
36. Fritzsche H, Minkowski P *Nuovo Cimento A* **30** 393 (1975)
37. Freund P G O, Numbu Y *Phys. Rev. Lett.* **34** 1645 (1975)
38. Willemsen J *Phys. Rev. D* **13** 1327 (1976)
39. Kogut J, Sinclair D, Susskind L *Nucl. Phys. B* **114** 199 (1976)
40. Jaffe R L, Johnson K *Phys. Rev. Lett.* **34** 1645 (1976)
41. Donoghue J F, Johnson K, Li B A *Phys. Lett. B* **99** 416 (1981)
42. Rebbi C *Phys. Rev. D* **12** 2407 (1975); *D* **14** 2362 (1976)
43. De Grand T, Jaffe R *Ann. Phys. (New York)* **100** 425 (1976)
44. Wilson K *Phys. Rev. D* **10** 2445 (1974)
45. Wilson K, in *Recent Developments in Gauge Theories* (Eds G t'Hooft et al.) (N. Y.: Plenum Press, 1980)
46. Creutz M, Jacob L, Rebbi C *Phys. Rev. Lett.* **42** 1390 (1979)
47. Creutz M *Phys. Rev. Lett.* **43** 553 (1979)
48. Bali G S et al. (UKQCD Collaboration) *Phys. Lett. B* **309** 378 (1993)
49. Isgur N, Paton J *Phys. Rev. D* **31** 2910 (1985)
50. Липатов Л Н *ЖЭТФ* **90** 1593 (1986)
51. Parisi G, Petronzio R *Phys. Lett. B* **94** 51 (1980)
52. Consoli M, Field J H *Phys. Rev. D* **49** 1293 (1994)
53. Cornwall J M *Phys. Rev. D* **26** 1453 (1982)
54. Cornwall J M, Hou W-S *Phys. Rev. D* **34** 585 (1986)
55. Cornwall J M, Papavassiliou J *Phys. Rev. D* **40** 3474 (1989)
56. Anisovich V V, Gerasyuta S M, Sarantsev A V *Int. J. Mod. Phys. A* **6** 625 (1991)
57. Anisovich V V, Bugg D V *Search for glueballs* Preprint PNPI TH-74-194, 2016 (St. Petersburg, 1994)
58. Bardakci K, Halpern M B *Phys. Rev. D* **6** 696 (1972)
59. de Witt B *Nucl. Phys. B* **51** 237 (1973)
60. Pati J C, Salam A *Phys. Rev. D* **8** 1240 (1973); *D* **10** 275 (1974)
61. Ma E *Phys. Rev. D* **17** 623 (1978)
62. Anisovich V V, Kobrinsky M N, Nyiri J, Shabelski Yu M *Quark model and high energy collision* (Singapore: World Scientific, 1985)
63. Anisovich V V *Quark model and QCD*, in *Proc. 3-d Int. Symposium "πN and NN Physics"* (Gatchina, 1989) p. 237
64. Anisovich V V, Huber M G, Kobrinsky M N, Metsch B Ch *Phys. Rev. D* **42** 3045 (1990)
65. Anisovich V V, Prokoshkin Yu D, Sarantsev A V et al. *Phys. Lett. B* **355** 363 (1995)
66. Barnes T, in *Proc. XXIX Recontres de Moriond* (Meribel, France, 19-26 March, 1994); *QCD and High Energy Hadron Interactions* (Ed. J Tranh) (Than Van, 1994) p. 587; Tornqvist N A *Z. Phys. C* **61** 525 (1994); Achasov N, Shestakov P *Z. Phys. C* **41** 309 (1988)
67. Adler S L *Phys. Rev. B* **137** 1022 (1965)
68. Gell-Mann M, Levy M *Nuovo Cimento* **16** 705 (1960); Weinberg S *Phys. Rev. Lett.* **17** 616 (1966)
69. Faessler M *Talk at Crystal Barrel Workshop* (13-18 March, 1994)
70. Bai Z et al. *Phys. Rev. Lett.* **65** 2507 (1990)
71. Zheng Zhipeng, in *Proc. XXVI Int. Conf. on High Energy Physics* (Dallas, 1992) p. 556 (American Institute of Physics, 1993)
72. Augustin J-E et al. *Phys. Rev. D* **42** 10 (1990)
73. Burchell B H et al. *Nucl. Phys. (Suppl.) B* **21** 132 (1991)
74. Behrend H-J et al. *Z. Phys. C* **56** 381 (1992)
75. Gershtein S S, Likhoded A K, Prokoshkin Yu D *Z. Phys. C* **24** 305 (1984); *ЯФ* **39** 251 (1984)
76. Rath M G et al. *Phys. Rev. D* **40** 693 (1989)

EXOTIC MESONS: SEARCH FOR GLUEBALLS

V.V. Anisovich

St. Petersburg Nuclear Physics Institute
188350 Gatchina, St. Petersburg, Russia
Fax (7-812) 713-1963
E-mail: anisovic@lnpi.spb.su

An analysis of present status of the search for glueballs is performed.

PACS numbers: **13.90.+i**, **14.80.-j**

Bibliography — 76 references

Received 10 April 1995